

# TehniUM

ANUL XXI — NR. 251 **10/1991**

## SUMAR

- TEHNICĂ MODERNĂ** ..... pag. 2—3  
Proiectare asistată de calculator
- INIȚIERE ÎN RADIOELECTRONICĂ** ..... pag. 4—5  
LED-ul — fotodiodă?  
Stabilizatoarele programabile 317/337
- CQ-YO** ..... pag. 6—7  
Variante noi ale antenei  
CUBICAL QUAD  
QRP — 144 MHz
- HI-FI** ..... pag. 8—9  
Filtre active de separare  
Preamplificatorul QUAD 44
- TEHNIUM TV** ..... pag. 10—11  
Demodulatoare FM de bandă largă
- SERVICE** ..... pag. 12—13  
Depanare TV:  
modulul sincroprocesor
- AUTOMATIZĂRI** ..... pag. 14—15  
Poartă logică  
Bistabil cu amplificator operațional  
Regulator de turajie
- LA CEREREA CITITORILOR** ..... pag. 16—17  
Neurostimulator transcutan
- CITITORII RECOMANDĂ** ..... pag. 18—19  
Convertor UUS  
Rafturi multifuncționale
- ATELIER** ..... pag. 20—21  
Monocomandă TV
- REVISTA REVISTELOR** ..... pag. 22  
Modulator echilibrat  
Sirenă  
Frecvențmetru  
CLK 5011
- MAGAZIN TEHNIUM** ..... pag. 23  
PHILIPS — 203U  
Amplificator TV
- PUBLICITATE** ..... pag. 24

## REVISTĂ LUNARĂ PENTRU CONSTRUCTORII AMATORI

ADRESA REDACȚIEI: „TEHNIUM”,  
BUCUREȘTI, PIAȚA PRESEI LIBERE NR. 1,  
COD 79784, OF. P.T.T.R. 33,  
SECTORUL 1, TELEFON: 18 35 66—17 60 10/2059  
PREȚUL 15 LEI





# PROIECTARE ASISTATĂ DE CALCULATOR

## Utilizarea calculatoarelor personale la analiza circuitelor în regim sinusoidal

Dr. ing. ȘERBAN RADU IONESCU, YO3AVO

(URMARE DIN NR. TRECUT)

### 3.3. Amplificarea de tensiune și amplificarea de putere

Mărimile care intervin probabil cel mai des, atât în specificațiile de proiectare, cât și în referirile curente, sînt **raportul de transfer** al tensiunilor și cel al puterilor. Datorită însă faptului că în cele mai multe ocazii sîntem preocupați de mărirea nivelului unui anumit semnal (cel puțin într-un domeniu de frecvență în care îl considerăm util), noțiunea de raport de transfer o vom substitui în cele ce urmează cu cea de **amplificare**.

Astfel, cu notațiile din figura 3.1, **amplificarea de tensiune**  $A_u$  a circuitului se definește prin relația (3.10)

$$(3.10) \quad A_u = \frac{U_2}{E}$$

iar **amplificarea de putere**  $A_p$  prin relația (3.11)

$$(3.11) \quad A_p = \frac{P_s}{P_{disp}}$$

În relația (3.11) de definiție a amplificării de putere,  $P_s$  reprezintă puterea furnizată de circuit rezistenței de sarcină  $R_s$ , iar  $P_{disp}$  este puterea disponibilă a sursei de semnal (puterea pe care o poate oferi sursa de semnal la adaptare, adică atunci cînd  $Z_i = R_G$ ).

Cele două amplificări sînt evaluate în cadrul programului de grupul instrucțiunilor incluse în

lista 3.3, tot pe baza parametrilor admitanță de scurtcircuit, cu formulele (3.12):

$$(3.12) \quad A_u = \frac{y_{21}G_g}{y_{12}y_{21} - (y_{11} + G_g)(y_{22} + G_s)}$$

$$A_p = |A_u|^2 \frac{4G_s}{G_g}$$

Amplificarea de tensiune fiind un număr complex, este afișat separat modulul său notat  $A_u$  (și în decibeli) și faza sa notată tot PH, în grade. Amplificarea de putere, notată  $A_p$ , este afișată numai în decibeli.

### 3.4. Timpul de întârziere de grup

Rareori circuitele electrice sînt străbătute de semnale pur sinusoidale. Mai întotdeauna semnalul prezent la intrarea unui circuit este constituit, de fapt, dintr-o sumă de componente sinusoidale cu amplitudini, frecvențe și faze inițiale diferite.

Unul din rezultatele fundamentale ale teoriei analizei circuitelor electrice ne arată că pentru ca răspunsul de la ieșirea circuitului să nu fie deformat (distorsionat) față de semnalul de la intrare, trebuie ca fiecare dintre aceste componente să sufere aceeași amplificare sau atenuare și aceeași întârziere la trecerea prin circuit. Cu alte cuvinte, referindu-ne din nou la figura 3.1 și la definiția (3.10), modulul amplificării de tensiune trebuie să fie constant în banda de frecvențe ocupată de semnal, iar mărirea dată de relația (3.13):

$$(3.13) \quad T_g = \frac{d|A_u|}{2\pi \cdot df}$$

$$(3.14) \quad A_u = |A_u| \exp(j|A_u|)$$

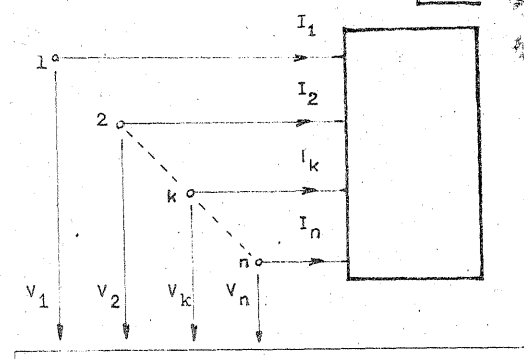


Fig. 2.3

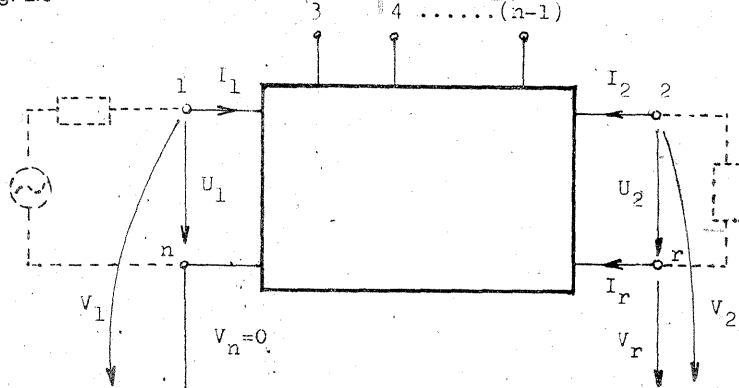


Fig. 2.4

$$U_1 = V_1 \quad U_2 = V_2 - V_r$$

$$I_2 = -I_r$$

$$I_i = \sum_{j=1}^{n-1} Y_{ij} V_j \quad i=1, \dots, (n-1)$$

$$I_k = 0 \quad k=3, \dots, (r-1), (r+1), \dots, (n-1)$$

mărimă numită **timp de întârziere de grup**, să fie și ea constantă în aceeași zonă de frecvență.

Timpul de întârziere de grup este, de fapt, timpul cu care este întârziată de către circuit anvelopa sumei componentelor sinusoidale ale semnalului grupate în jurul unei anumite frecvențe  $f$ . El este un parametru important în aplicații cum ar fi transmisiile de date, circuitele pentru semnale de televiziune și bucle cu control automat de fază (sintetizoare de frecvență și demodulatoare PLL).

Ca în orice program de analiză numerică, și în programul de față, derivata din formula timpului de întârziere de grup se aproximează prin raportul de diferențe finite dat de relația (3.15):

$$(3.15) \quad T_g = - \frac{\Delta |A_u|}{2\pi \Delta f}$$

în care legătura dintre diferența de frecvență  $\Delta f$  și cea de fază  $\Delta |A_u|$  este redată în figura 3.3.

Prin aceasta, în locul valorii exacte egală cu panta cu semn schimbat a tangentei la graficul fazei amplificării de tensiune în punctul de frecvență  $f$  (tangenta reprezentată cu linie întrepruptă), se determină valoarea pantei cu semn schimbat a dreptei reprezentată punctat. Intuitiv, aproximația este cu atât mai bună cu cât diferența de frecvență  $\Delta f$  considerată este mai mică.

Practic, alegerea unei valori pentru  $\Delta f$  trebuie corelată însă cu viteza de variație a fazei amplificării de tensiune, variație ce trebuie cunoscută în prealabil, pentru a nu se obține rezultate eronate fără sens fizic. Astfel, în situațiile în care faza amplificării de tensiune variază lent, o valoare aleasă prea mică pentru  $\Delta f$  atrage după sine posibilitatea apariției unor erori foarte mari în calculul defazajului  $\Delta |A_u|$  datorită faptului că calculatorul trunchiază valorile fazei amplificării la frecvențele  $f$  și  $f + \Delta f$  la un număr finit de zecimale.

### Lista 3.1

```

6040 IF X#="I" THEN GO TO 6405
6045 IF X#="E" THEN GO TO 6455
6150 LET X1=G2*G3-R2*B3: LET Y1=
G2*B3+B2*G3: LET V1=G1+1/R1: LET
V2=G4+1/R2: RETURN
6405 GO SUB 6150: LET V=V2*V2+B4
*B4: LET X=G1-(X1*V2+Y1*B4)/V: L
ET Y=B1-(Y1*V2-X1*B4)/V
6425 LET Z=X: GO SUB 6700: PRINT
"Gi=";Z#,: LET Z=Y: GO SUB 6700
: PRINT "Bi=";Z#: LET V=X*X+Y*Y:
LET Z=X/V: GO SUB 6700: PRINT "
Ri=";Z#: LET Z=-Y/V: GO SUB 670
0: PRINT "Xi=";Z#
6455 GO SUB 6150: LET V=V1*V1+B1
*B1: LET X=G4-(X1*V1+Y1*B1)/V: L
ET Y=B4-(Y1*V1-X1*B1)/V
6475 LET Z=X: GO SUB 6700: PRINT
4 .....(n-1)
    
```



# LED-UL — FOTODIODĂ?

Da, răspunsul la întrebarea din titlu poate fi considerat afirmativ, așa cum s-a mai amintit ocazional în paginile revistei. Alături de propunem chiar abordarea experimentală a acestui subiect care, fără îndoială, prezintă interes practic pentru constructorul începător. Căci LED-uri se găsesc acum relativ ușor, la prețuri destul de accesibile, pe cită vreme fotodiodele și fototranzistoarele — apărute este pe ici, pe colo — au rămas încă pentru mult timp începători un simplu deziderat.

Principial, LED-ul îndeplinește cerințele esențiale ale „statutului” de fotodiodă, prin faptul că el este efectiv o diodă semiconductoră (chiar dacă nu cu siliciu), iar accesul luminii spre joncțiune este permis prin masca din material plastic, mai mult sau mai puțin transparent, ce echipează capsula. Desigur nu ne putem aștepta la rezultate spectaculoase, căci, prin construcție, LED-urile sînt concepute în vederea emisie luminoase cu randament optim, iar nu recepției (natura materialului semiconductor, culoarea și transparența capsulei din plastic, lipsa lentilei de focalizare etc.). Cu toate acestea, prin verificare prealabilă și sortare adecvată se pot găsi ușor exemplare care să rezolve bine unele probleme nepre-

tențioase de fotocomandă (cînd nu există exigențe mari în ceea ce privește viteza de răspuns).

Pentru astfel de aplicații, LED-ul se polarizează obligatoriu în sens invers conducerii, cu joncțiunea „blocată”, la fel ca fotodiodele (fig. 1). Obșnuita rezistență serie cu rol de limitare în curent, în cazul polarizării directe, nu își mai are aici rostul. Locul ei poate fi luat eventual tot de o rezistență serie, cu valoare incomparabil mai mare (megaohmi, chiar zeci de megaohmi), care să formeze împreună cu rezistența inversă a dispozitivului un divizor de tensiune cu raportul controlat prin intermediul raportului de iluminare (fig. 2).

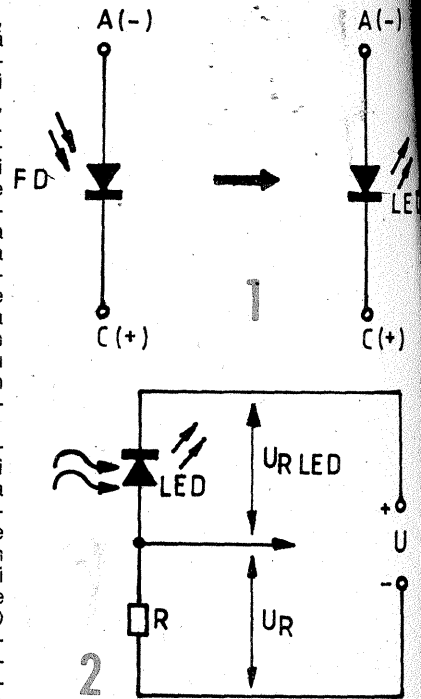
O primă problemă care se ridică în cazul unei astfel de utilizări a LED-ului este precauția de a nu depăși tensiunea inversă maximă admisă de dispozitivul în cauză. Este știut faptul că LED-urile suportă, în general, tensiuni inverse mult mai mici decît fotodiodele, respectiv de ordinul voltilor. De aceea, în lipsa unor date concrete de catalog, se recomandă efectuarea experiențelor cu tensiuni de alimentare  $U$  joase, orientativ de pînă la 6—9 V.

O a doua problemă, mai acută chiar decît în cazul fotodiodelor, o ridică valoarea foarte mare a rezistenței inverse a LED-urilor, nu nu-

mai în condiții de întuneric total, dar chiar și la iluminarea naturală sau artificială uzuală a capsulei (variații mult mai mici ale rezistenței inverse cu gradul de iluminare, adică sensibilitate mai scăzută). Aceasta impune, pe de o parte, folosirea unor rezistențe  $R$  de valori foarte mari în divizorul de tensiune din figura 2, iar pe de altă parte, alegerea în „aval”, pentru prelucrarea raportului fotosensibil  $U_{LED}/U_R$  a unor circuite cu rezistența de intrare încă și mai mare. Practic este aproape exclusă posibilitatea de a „simula” cu ajutorul LED-urilor un fototranzistor după modelul simplu amintit în figura 3, care, după cum știm, dă rezultate bune cu fotodiode propriu-zise.

Un prim pas către atingerea scopului propus l-ar putea constitui chiar această schemă, cu condiția de a înlocui tranzistorul unic  $T$  printr-un dublet  $T_1, T_2$  în conexiune Darlington (fig. 4). Pentru a pune în evidență fotosensibilitatea LED-ului testat (1), s-a montat în circuitul de colector al lui  $T_2$  un al doilea LED (2), în polarizare directă și cu curenți reziduali neglijabili — în special pentru  $T_1$  — montajul poate servi destul de bine la testarea și selecționarea unor exemplare de LED-uri cu fotosensibilitate acceptabilă. În principiu se va prefera alegerea unor LED-uri cu capsula cît mai transparentă (nu translucidă sau fumurie).

Nu ne vom opri însă la acest montaj simplu din două motive. În primul rînd, pentru că fotosensibilitatea redusă a unora dintre LED-urile testate ne va obliga să folosim niveluri mari de iluminare (veioză de rețea, la mică distanță), condiții ce



îngreunează observarea simultană a indicatorului luminos LED2 și care, oricum, ne îndepărtează de scopul final propus (în general, montajele de fotocomandă trebuie să acționeze și la iluminări mult mai reduse). În al doilea rînd, pentru că indicatorul folosit (LED2), cu iluminare gradată, nu permite aprecierea „cantitativă” a fotosensibilității LED-ului testat. Mult mai concludentă este o sortare bazată pe un anumit „prag”, de pildă prin anclan-

# STABILIZATOARELE PROGRAMABILE 317/337

Despre stabilizatoarele integrate „programabile”, mai precis a căror tensiune de ieșire poate fi ajustată din circuitul exterior, prin polarizarea adecvată a unui terminal notat Adj. (adjustment = ajustare, stabilire, adaptare) am mai scris recent la această rubrică, prezentînd pe larg avantajele acestor componente moderne în comparație cu regulatoarele fixe, gen 78XX (vezi „Teh-nium” nr. 4 și 5—6/1990). Între timp au apărut însă pe piața noastră și alte tipuri, cum ar fi cele din familiile 317 — sursă pozitivă și, respectiv, 337 — sursă negativă, cu diverse precizări suplimentare la indicativul de bază, în funcție de firma producătoare sau clasa de performanță (LM317/LM337,  $\mu A317/\mu A337$ , B3170V/B3370V, B3171V/B3371V etc.).

Oferim alături de celor interesați, cîteva date esențiale de catalog și unele recomandări privind utilizarea practică a acestor circuite.

Pentru varianta cea mai frecvent utilizată de capsulă, TO-220, dispunerea terminalelor este indicată în figura 1, unde numerotarea corespunde circuitului văzut cu partea metalizată în jos. O primă observație importantă, deci: dispunerea

este diferită la cele două tipuri 317/337, prin faptul că sînt inversate între ele pozițiile terminalelor In (input = intrare) și Out (output = ieșire). Acest „amănunt” poate scăpa la o privire neatență, cu penalizare destul de costisitoare.

Circuitele de bază ale familiilor 317, respectiv 337, sînt destinate realizării unor surse stabilizate de tensiune pozitivă, respectiv negativă, în plaja orientativă 1,2 V ÷ 37 V, pentru un curent de ieșire maxim de 1,5 A. Sursele pot fi proiectate pentru tensiuni fixe sau reglabile continuu ori în trepte.

Circuitele sînt prevăzute cu protecții interne la supracurent și la ambalare termică, dar este recomandabil să nu se ajungă în vecinătatea situației de intrare a acestora în funcțiune, deoarece aici performanțele se înrăutățesc simțitor (neacceptabil, adeseori). De aceea, este obligatoriu să se țină cont de parametrii maximali  $I_{Omax} = 1,5 A$ ;  $(U_i - U_o)_{max} = 40 V$ ;  $P_{dmax} = 15 W$ , atît individual, pentru fiecare în parte, cît și combinativ. De pildă, pentru un curent de ieșire dorit de 1 A, nu se va permite o diferență de

tensiune intrare-ieșire mai mare de 10 V ÷ 12 V, pentru a nu ne apropia periculos de limita maximă de disipație, de 15 W. Evident, în toate cazurile capsula va fi echipată cu un radiator termic adecvat. Pentru unele tipuri cu codificare specială, plajele de tensiune pot fi substanțial mai mari (de pildă, B3171V are menționate în catalog o plajă de ieșire 1,2 V ÷ 57 V și o diferență maximă de tensiune intrare-ieșire de 60 V, însă — atenție! — la aceeași putere maximă de disipație).

Pentru o funcționare corectă este necesar să se asigure o diferență minimă de tensiune intrare-ieșire de cca 3 V, ceea ce înseamnă că

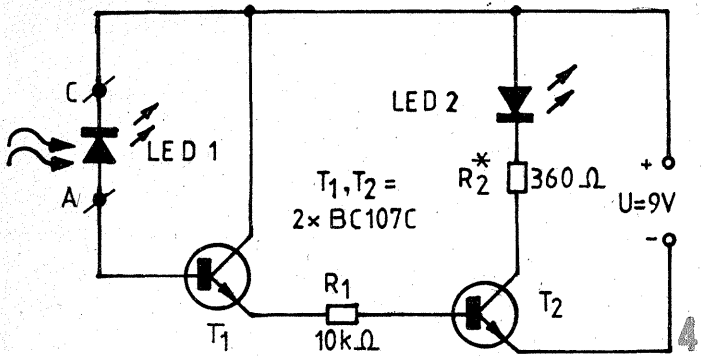
sursa  $U_i$  de intrare (tensiune redresată, bine filtrată) va trebui să furnizeze, la curenții maximi dorit, cu cel puțin 3 V mai mult decît valoarea  $U_o$  preconizată. De asemenea, se impune ca ieșirea să debeată în permanență un anumit curent minim, a cărui valoare se situează orientativ între 5 mA și 10 mA (există și exemplare care acceptă valori chiar mai mici).

Schema tipică de utilizare este cea din figura 2, pentru cazul surselor pozitive. Ea se modifică la sursele negative doar prin inversarea polarității tensiunilor  $U_i$  și  $U_o$ , precum și a condensatoarelor electrolitice (foarte bune!) Ci și Co. În ciuda tentației evidente, din obișnuință, nu mărită valoarea capacității lui Co peste cca 10—15  $\mu F$  (fără introducerea artificii cunoscut de protecție cu diodă), căci riscați să distrugeți integratul!

Capsulă TO220

Surse pozitive	Surse negative
LM317	LM337
B3170	B3370
B3171	B3371
1=Adj.	1=Adj.
2=Out	2=In
3=In	3=Out



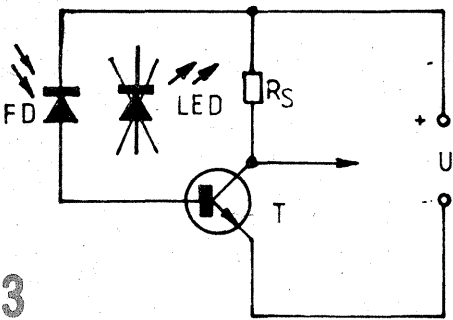


Secretul important îl constituie însă plasarea LED-ului de verificare (LED1) în circuitul grilă-sursă al unui tranzistor cu efect de câmp, T1. Punctul „static” de funcționare se stabilește din potențiometrul P, a cărui valoare înseriată determină practic curentul drenă-sursă, implicit și valoarea potențialului „static” din drenă (D). Cu LED-ul 1 montat și la o iluminare a acestuia cât mai apropiată de nivelul de prag dorit, ajustăm potențiometrul astfel ca releul să fie adus în imediată vecinătate a pragului de anclanșare. Situației îi corespunde un potențial în punctul D de aproximativ 1,2 V. La

LED3, verde). LED-ul 1 testat este cu atât mai bun — pe post de fotodiadă, firește — cu cât bunăstarea montajului se poate asigura ferm la creșterea mai mici ale nivelului de iluminare.

De la ideea în sine, verificată cu bune rezultate pe baza principiului de mai sus, și pînă la aplicațiile practice de fotocomandă propriuzisă, nu va mai rămîne astfel decît un mic pas: alegerea consumatorului dorit și adaptarea alimentării lui, prin contactele releului, de la o sursă adecvată.

Dacă nu dispuneți de FET (orice tip canal N, cu grila jonctiune), va



3

șarea unui releu, amorsarea unui tiristor sau triac etc., atunci cînd iluminarea variază (crește sau scade) în jurul unui nivel prestabilit, determinat (ales) la rîndul său în raport cu condițiile reale în care urmează să funcționeze respectivul montaj de fotocomandă.

Ținînd cont de aceste observații, am ajuns la varianta ameliorată de testare propusă în figura 5. Blocul indicator este întocuit aici printr-un releu cu tensiune joasă de anclanșare (6 V ÷ 8 V), comandat de un tranzistor T2 adecvat (2N2219, 2N1711, BD137 etc., cu beta mare). Starea de „repaus”, respectiv „anclanșat”, a releului este pusă în evidență sugestiv, prin iluminarea constantă a unui LED roșu (2), res-

pectiv verde (3), care se alimentează de la sursa U conform aranjamentului indicat, folosind contactele K1, normal închise, respectiv contactele K2, normal deschise, ale releului.

o creștere ușoară a iluminării LED-ului, printr-un proces pe care va invităm să-l analizați singuri, potențialul punctului D va crește și el, ducînd astfel la anclanșarea releului (se stinge LED2, roșu și se aprinde

puteți ușor imagina un circuit similar de testare — încă mult mai simplu și cu performanțe sporite — utilizînd, de pildă, un amplificator operațional cu intrarea pe tranzistoare J-FET.

Pagini realizate de fiz. ALEX. MĂRCULESCU

Tensiunea dorită de ieșire,  $U_o$ , se „programează” prin simpla dimensionare a divizorului R1—R2, conform relației:

$$U_o = U_{ref} \cdot \left(1 + \frac{R_2}{R_1}\right) + R_2 \cdot I_{adj} \quad (1)$$

Parametrul intern  $U_{ref}$  este specific exemplarului de integrat și are valori uzuale între 1,2 V și 1,3 V. În calcule se consideră aproximativ  $U_{ref} = 1,25$  V. Curentul  $I_{adj}$  (absorbit de terminalul Adj) nu este constant, dar el are uzual valori de ordinul zecilor de microamperi, astfel că termenul  $R_2 \cdot I_{adj}$  din membrul drept poate fi neglijat în faza inițială de calcul.

Cerința asigurării unui curent minim permanent de ieșire este, de regulă, îndeplinită prin alegerea corespunzătoare a lui R1. De pildă, pentru a asigura un consum minim de 10 mA, vom lua  $R_1 \approx 1,25$  V / 10 mA = 125 Ω, observînd că la bornele lui R1 se regăsește în permanență tensiunea  $U_{ref}$ . Uzual, R1 se ia între 120 Ω și 300 Ω, valoare fixă.

Valoarea necesară pentru R2 se calculează orientativ cu relația:

$$R_2 = R_1 \cdot \left(\frac{U_o - 1,25}{1,25}\right) \quad (2)$$

urmînd ca la experimentare să se facă eventual mici retușări. Dacă se dorește o tensiune de ieșire reglabilă continuu, de pildă între o valoare minimă,  $U'_o$  ( $\geq 1,25$  V) și una maximă,  $U''_o$  ( $\leq 37$  V), se face calculul de mai sus pentru ambele extremități, rezultînd valorile corespunzătoare R'2 și R''2. În locul rezistenței R2 din schemă se va introduce o combinație serie de forma R2 + P, unde se ia  $R_2 \approx R'2$  (eventual zero) și  $P \approx R''2 - R'2$ .

Se caută (sau se „corectează”) un potențiomtru cu valoarea P cât mai apropiată de această diferență, după care se vor face mici ajustări succesive asupra valorilor lui R1 și R2, pentru încadrarea cât mai bună a plajei propuse în cursa activă a potențiometrului.

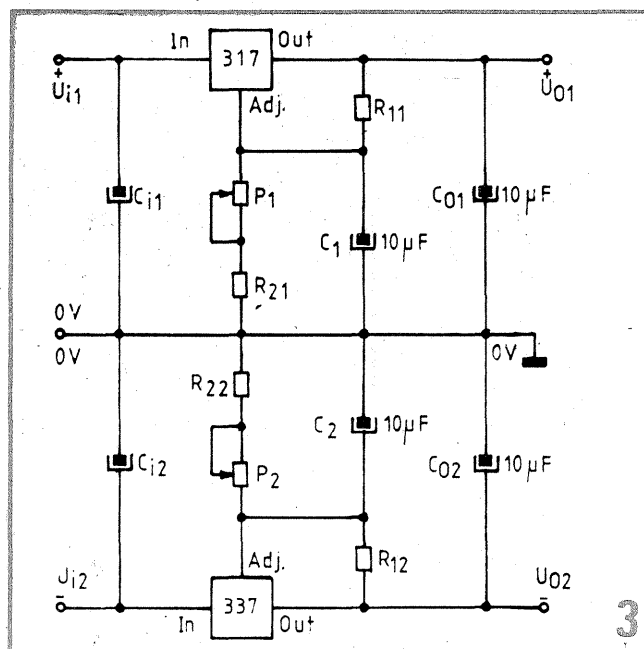
Începătorului poate să-i pară puțin ciudată etichetarea drept sursă pozitivă sau negativă a unui stabilizator oarecare de tensiune continuă (care tot două borne de polaritate plus și minus are, indiferent cum îi zicem). Obiceiul vine din necesitatea de raportare la un anu-

mit punct comun de referință — masa — adeseori cu implicații importante pentru buna funcționare a aparatelor alimentate (cuplaje parazite, reacții etc.).

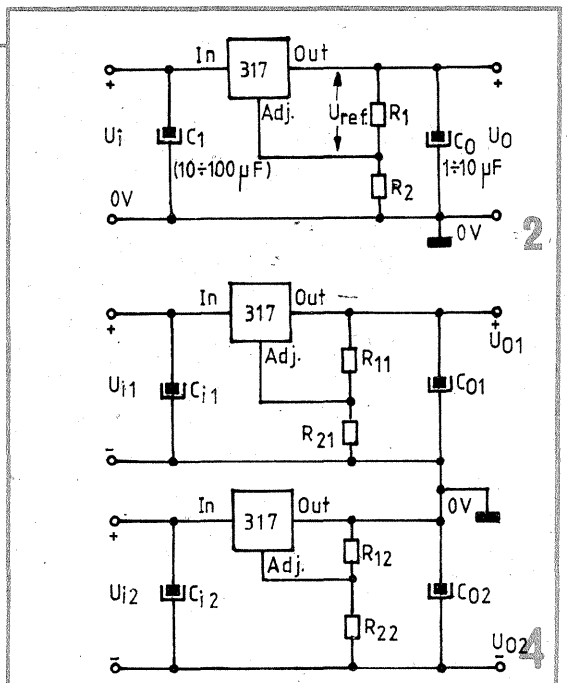
Ca și stabilizatoarele clasice, regulatoarele integrate se pot cupla cîte două în vederea obținerii unor surse duble, de regulă de tip „diferențial”, cu valori egale (simetrice) sau nu, respectiv reglabile individual în plaje dorite. Dacă tensiunile de intrare,  $U_{i1}$  și  $U_{i2}$ , sînt la rîndul lor înseriate în mod „diferențial”,

avînd o bornă comună de masă pe care dorim (trebuie) să o păstrăm comună și cu ieșirea, vom apela de preferință la două stabilizatoare „opuse”, unul pozitiv și unul negativ, așa cum se sugerează în figura 3.

Dacă însă tensiunile de intrare sînt complet separate galvanic, iar montajul alimentat nu ridică exigențe în legătură cu traseul de masă, se pot folosi foarte bine și două stabilizatoare de același tip, înseriate doar la ieșire, așa cum se sugerează în figura 4.



3



2

4

# Variante noi ale antenei „CUBICAL QUAD”

Prof. NICOLAE CODĂRNAI, YO3ZM

Radioamatorul englez G3YDX propune o nouă formă a elementului activ și a reflectorului (vezi figura 1) pentru antena de tipul „cubical quad”. Folosind ramele de la o astfel de construcție și formă se poate construi o antenă mono-bandă de dimensiuni reduse (de exemplu 1,5 ori mai mică față de o antenă normală) care are întru totul caracteristici multumitoare.

Dimensiunile ramelor (ale elementului activ) pentru banda de 14 MHz sînt arătate în figură. Alimentarea elementului se face cu ajutorul dispozitivului de adaptare „gama”. Reflectorul are aceeași formă și dimensiuni ca și elementul activ. La mijlocul părții de jos a reflectorului se montează „sleiful” cu ajutorul căruia se adaptează (acordează) antena.

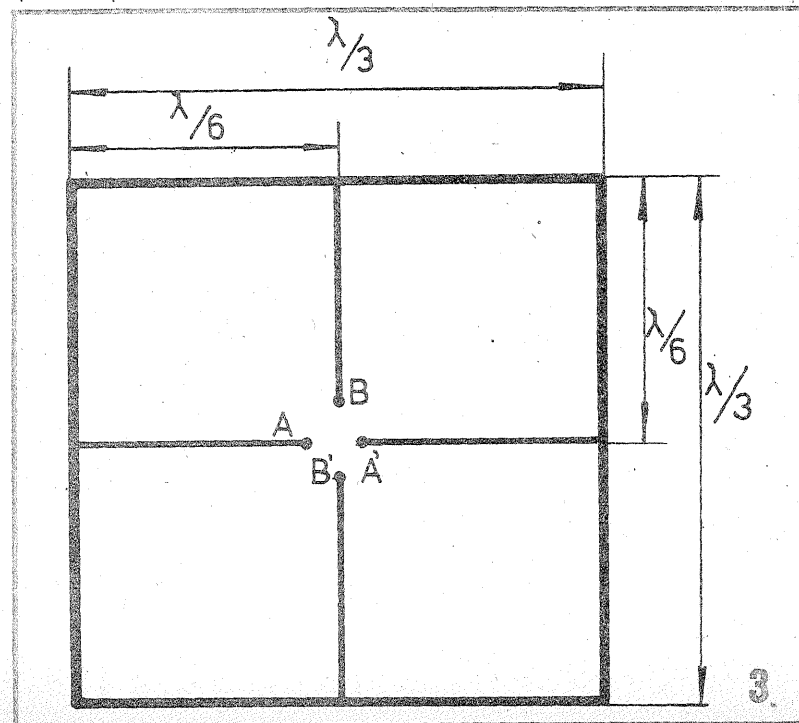
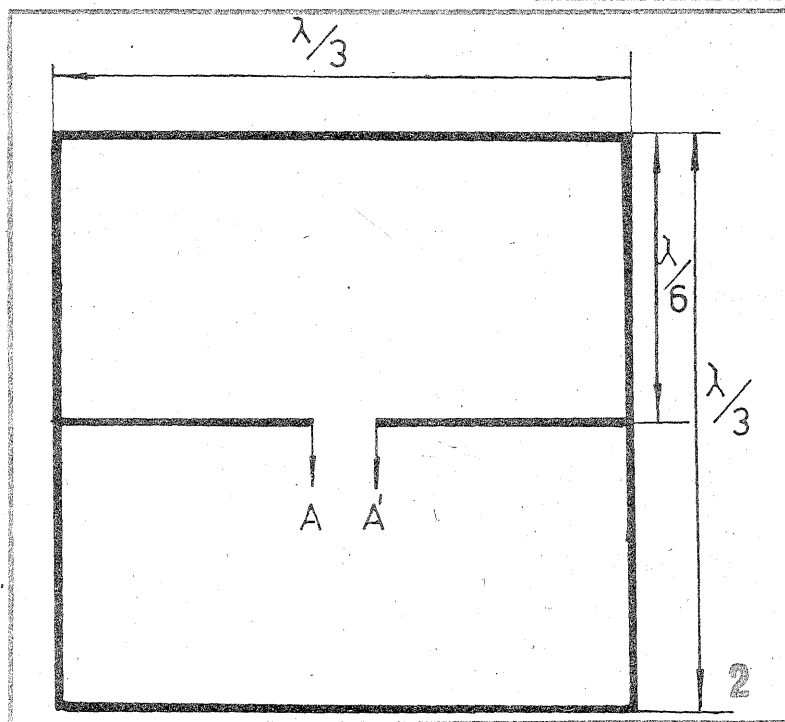
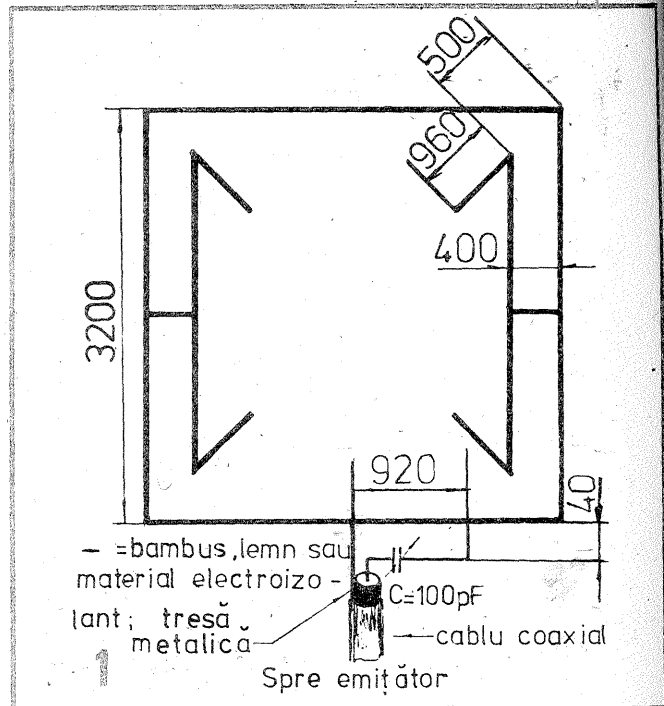
Elementul activ și reflectorul se fixează de o traversă de susținere la distanța de 2 500 mm unul de altul. Spre deosebire de „cubical quad”-ul obișnuit, antena, care are rama de o astfel de formă, este de bandă mult mai îngustă. La 14 MHz banda de trecere a antenei (la un coeficient de unde staționare de nu mai mult de 2) nu depășește 250 kHz. Aceasta nu ne permite să construim o antenă care să funcționeze efectiv în întreaga gamă.

Sînt posibile două variante: o antenă care să fie acordată pe frecvența de 14,1 MHz (care să acopere tot ecartul de telegrafie și o mare parte din ecartul de telefonie) sau pe 14,2 MHz care să acopere întregul interval de telefonie.

Cu cît antena este de bandă mai îngustă, cu atît acordul ei trebuie să se execute mai precis. Aceasta se face cel mai bine cînd antena este ridicată la înălțimea de lucru. Dacă acordul antenei se face pe pămînt, la ridicarea acesteia se produce o variație a frecvenței de rezonanță a ramelor.

La început se acordează elementul activ cu dispozitivul „gama”, iar apoi se alege lungimea ștubului de adaptare al reflectorului pentru cel mai bun raport de radiație față-spate. După datele autorului, mări-

rea nivelului semnalului (atît la recepție, cît și la emisie) la o trecere de pe antena ground-plane (G.P.) pe „cubical quad” cu astfel de rame a fost în medie în jurul a 3 puncte „S”. Trebuie amintit însă că adeseori mărirea nivelului semnalelor la trecerea de pe antena G.P. pe antena „cubical quad” se face, după cum se vede, nu numai prin îmbunătățirea directivității antenei, dar mai cu seamă prin funcționarea neeficientă a antenei G.P. din cauza unui pămînt prost, proastei adaptări sau degajării a acesteia, precum și a calității cablului de coborîre, asupra căruia fenomenul de îmbătrînire își pune pecetea. O situație asemănătoare este caracteristică și antenelor de radioamatori din orașele



mari, cu atît mai mult cu cît în acestea este foarte greu să construiești un bun „pămînt” pentru instalațiile de radioemisie, iar fără el, antenele verticale funcționează cu eficiență redusă.

Și iată că, în același număr al revistei „Radio Communications” este descris un nou element pentru antena „cubical quad”. Elementul activ pentru această antenă are o formă aparte și este arătat în figura 2. Acesta are o serie întreagă de calități față de elementul normal de formă pătrată, alimentat fie la mijloc, fie la capătul ramei — în colțul acesteia.

Partea reală a impedanței de intrare a unui astfel de element radiant, la variația frecvenței de la 0,8 pînă la 2,5 fo (fo este frecvența de rezonanță luată în calcul pentru elementul dat), crește doar de trei ori (de la 100 pînă la 300 Ω). Componenta reactivă în acest caz are un caracter slab capacitiv. Pe frecvența de rezonanță, partea reală a impedanței este egală cu 320 Ω, iar cea imaginară cu 200 Ω. Pe baza elementului descris se poate realiza un vibrator de bandă largă pentru „cubical quad” care să acopere fără vreo comutare benzile de amator de 14, 21 și 28 MHz. Optime sînt pentru

lucru frecvențele cuprinse în intervalul 0,8 fo și 1,8 fo.

Atractivă este posibilitatea acestui element de a fi construit sub forma unei monturi total metalice. Aceasta permite mărirea rigidității mecanice a antenei în mod considerabil. În figura 3 este arătată o variantă modificată a elementului care dă posibilitatea construirii antenei cu polarizare circulară. Astfel de antene sînt foarte eficiente, după cum semnalele stațiilor din benzile de unde scurte și unde ultrascurte pot avea orice polarizare care poate să se modifice în timp.

Pentru obținerea polarizării circulare, alimentarea celei de-a doua părți a vibratorului (în punctul BB') se face cu o diferență de fază de 90° în raport cu prima jumătate (punctul AA'). Aceasta se obține prin conectarea părții a doua a vibratorului la linia de alimentare printr-un cablu coaxial cu o lungime electrică de 1/4 λ.

Luînd în considerare ecartul de 0,8 ÷ 1,8 fo, se poate observa — după efectuarea unui calcul aritmetic elementar — că o antenă de tipul 2, cu diagrama de polarizare circulară calculată pentru una din benzile 14, 18 sau 21 MHz, acoperă cu succes 4 benzi de lucru; în felul acesta o antenă calculată pentru banda de 14 MHz va funcționa bine pînă la 11,2 MHz (bandă inferioară) și 25,2 MHz (banda superioară), deci va acoperi ecartul benzilor 14, 18 și 24 MHz, iar în cazul calculării vibratorului pentru 21 MHz, antena va acoperi intervalul de la 16,8 ÷ 37,8 MHz; deci va acoperi ecartul benzilor de 18, 21, 24 și 28 MHz. Se subînțelege că aceste antene vor avea cîștigul optim în banda pentru care au fost calculate. Radioamatorul va putea opta pentru acea antenă care să-i confere posibilitățile cele mai variate pentru construirea ei, ținînd cont de banda de lucru dorită, dimensiunile acestei antene, cît și de materialele cerute de construcție și implicit de costul lor.

Dacă mai adăugăm și faptul că o antenă de dimensiuni reduse este ușoară și deci cu posibilități de rotire mai puțin complicate, vom căuta bineînțeles s-o dimensionăm cît mai aproape de banda în care dorim să lucrăm cel mai mult și unde propagarea să fie de cea mai lungă durată pe tot întinsul anului.

#### BIBLIOGRAFIE:

„Radio Communications” nr. 10/1970, Anglia  
„Radio” nr. 4/1977, U.R.S.S.



# QRP - 144 MHz

**T**ransceiverul prezentat face parte din aparatele ce emit o putere redusă în modul de lucru CW, pe banda de 144 MHz, într-un ecart de frecvență de 150 kHz și recomandat ca având bune performanțe de revista „Radiotechnika”.

De remarcă faptul că se pot recepționa emisiuni atât CW, cât și SSB, fiindcă receptorul este de tip sincronă.

La recepție, semnalul este amplificat de tranzistorul T6 (BF173) și apoi aplicat grupului de diode din demodulator, unde sosește și semnalul de la heterodină. Componenta de audiofrecvență rezultată este amplificată de circuitul integrat IC1, de tip A741, și în continuare de tranzistorul T7 (BC107-BC171) și circuitul TBA810.

La emisie, oscilatorul conține un cuarț cu frecvența de 14,4 MHz într-un montaj Clapp. În modul realizat de VXO, prin multiplicările respective la emisii, se acoperă banda de 144-144,400 MHz.

Alimentarea oscilatorului se face cu tensiune stabilizată de 10 V, provenită de la o diodă Zener de tip PL10.

Tranzistorul T1 din oscilator este un BC107 sau echivalent.

La ieșirea tranzistorului T2 (BF173-BF199), pe bobinele L1 și L2 se obține un semnal cu frecvența de 72 MHz. Tranzistorul T3 lucrează ca dubler și pe L3 avem deja 144 MHz. De remarcă faptul că manipularea telegrafică se face în acest etaj, manipulatorul fiind conectat în emitor.

Tranzistorul T4 este BF199 sau BFY90, iar tranzistorul final este 2N3866 sau BFW16A.

Diodele D1-D4 sînt de tip 1N4148.

Bobina L4 are 4 spire cu diametrul de 6 mm, din CuEm 0,8; bobina L5 are 3 spire, cu diametrul de 5 mm din CuEm 0,8; L6 are 12 spire cu diametrul de 5 mm, din CuEm 0,6, iar L7 are 5 spire cu diametrul de 7 mm, CuEm 0,8.

Transformatorul Tr. 1 se construiește ca în desene, pe un miez de ferită cu dimensiunile indicate.

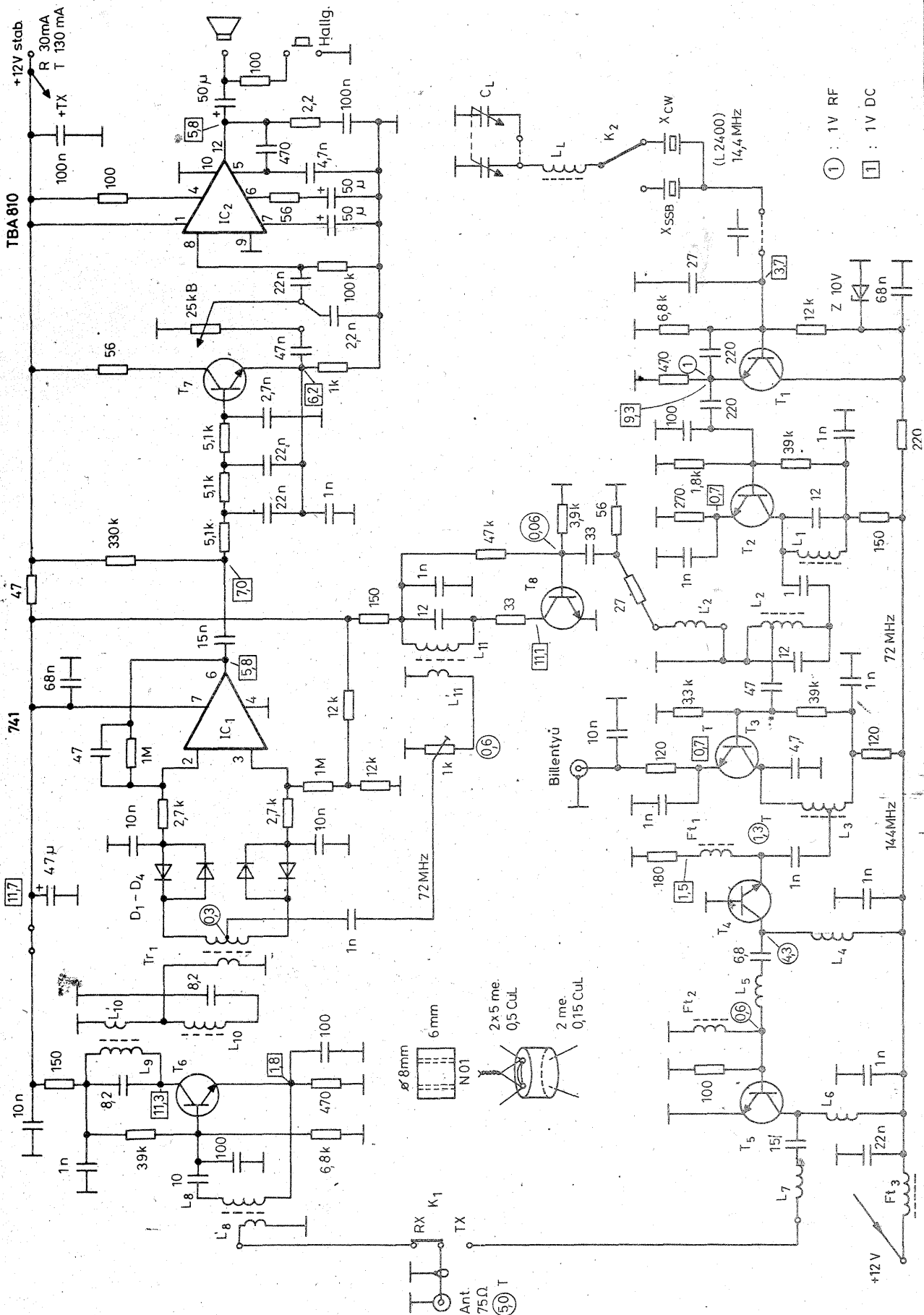
Socurile de radiofrecvență se realizează pe miezuri de ferită pe care se bobinează sîrmă de CuEm 0,3 (aproximativ 25 de spire).

Bobinele L2-L2', L11-L11' au raport de transformare 5/1, iar acolo unde este cazul se scoate priză la 1/4 din numărul de spire.

Alimentarea generală se face cu tensiune de 12 V, stabilizată.

Alăturat prezentăm schema electrică și desenele cablajelor imprimate.

RADIOTECHNIKA, 3/1991



(CABLAJELE ÎN PAG. 12)

# FILTRE ACTIVE DE SEPARARE

Ing. BARBU POPESCU

În scopul realizării unei sonorizări de calitate sînt folosite incinte acustice care conțin difuzoare de joasă, medie și înaltă frecvență.

De asemenea, există posibilitatea eliminării (în cazul în care se dispune doar de difuzoare de frecvențe înalte și joase corespunzătoare) domeniului frecvențelor medii, acționînd asupra potențioanelor P3 și P2.

Filtrul se compune din următoarele elemente:

1. Etajul de intrare realizat cu tranzistorul T1 și piesele aferente, care are rolul de adaptare între sursa de semnal (mixer) și filtre.

2. Filtrul de joasă frecvență realizat cu amplificatorul operațional A1 și piesele aferente; potențiometrul P1 permite variația frecvenței de tăiere ( $f_1$  în figura 2) în domeniul 260—1 500 Hz.

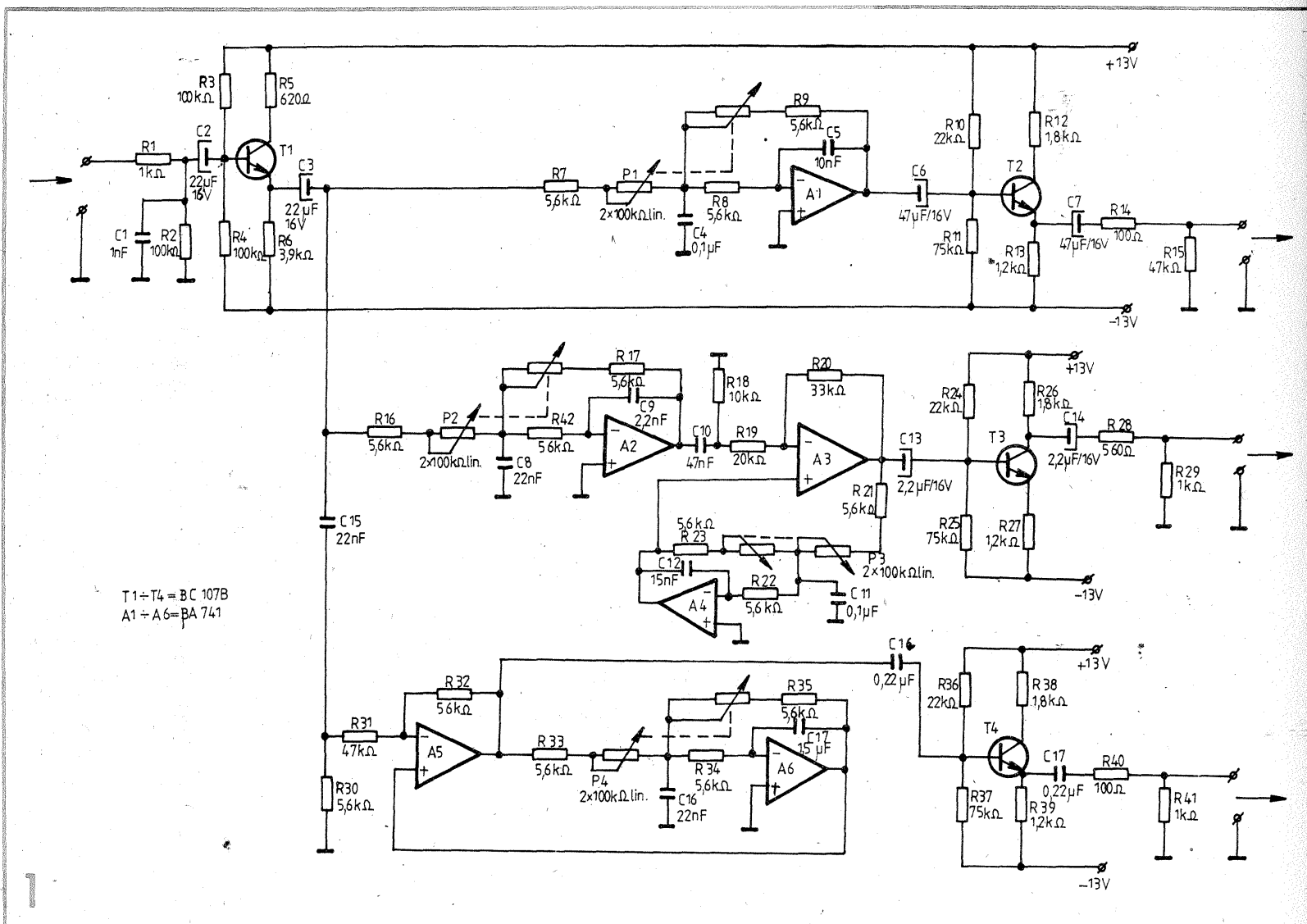
3. Filtrul de medie frecvență, realizat cu amplificatoarele operaționale A2, A3 și A4; potențioarele P2 și P3 permit ajustarea acestui domeniu de frecvență în limitele

300—1 100 Hz și 1 000—6 000 Hz.

Se remarcă introducerea unui filtru asemănător ca structură cu cel de joasă frecvență în bucla de reacție negativă a amplificatorului operațional A3 în scopul realizării corecției domeniului frecvențelor medii inferioare (300—1 100 Hz).

4. Filtrul de înaltă frecvență, realizat cu amplificatoarele operaționale A5 și A6 și piesele aferente; potențiometrul P4 permite ajustarea domeniului 1 500—7 900 Hz.

La ieșirea fiecărui filtru se remarcă etajele de ieșire realizate cu tranzistoarele T2 și T4 în configurație repetor pe emitor și T3 în con-



T1÷T4 = BC 107B  
A1 ÷ A6 = BA 741

Pentru a se obține un răspuns optim în frecvență și distorsiuni minime, se folosesc la puteri sub 100 W filtre de separare RLC.

În cazul sonorizării unor suprafețe mari, săli etc. se folosesc filtre de separare active; semnalul audio este aplicat unor amplificatoare audio specializate în domeniul frecvențelor joase, medii și înalte.

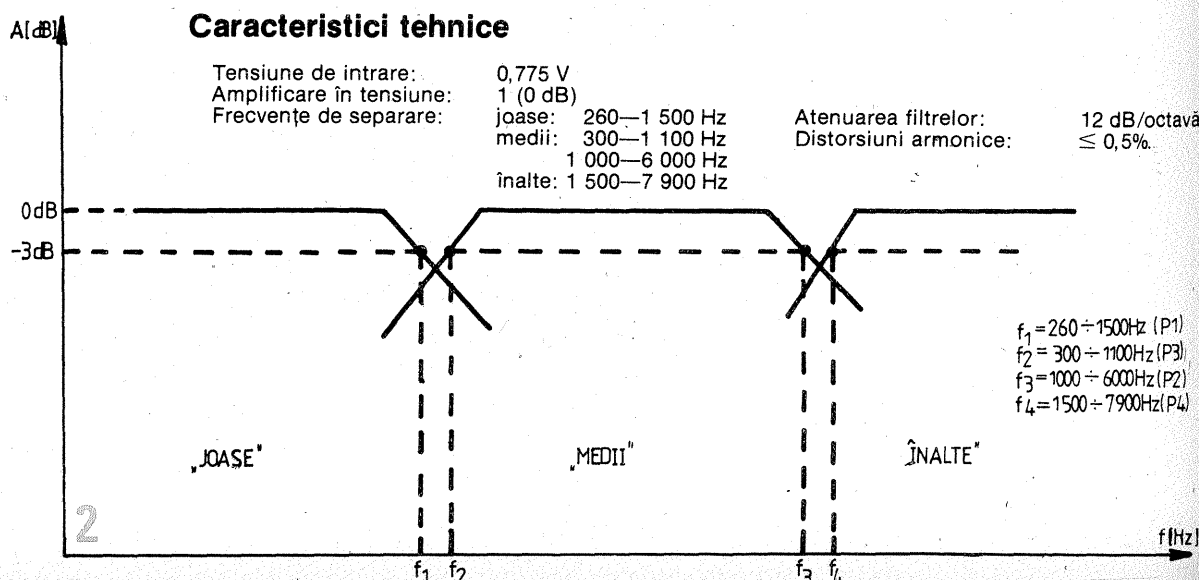
Filtrul activ de separare (a cărui schemă este indicată în figura 1) reprezintă o variantă a celui prezentat în revista R.T.E. nr. 5/1985; el permite separarea spectrului audio în trei zone corespunzător frecvențelor joase, medii și înalte.

Marele avantaj al acestui filtru constă în faptul că frecvențele de separare ( $f_1$  și  $f_2$ ,  $f_3$  și  $f_4$ ) nu sînt fixe, ele putînd fi modificate în funcție de răspunsul în frecvență al difuzoarelor folosite.

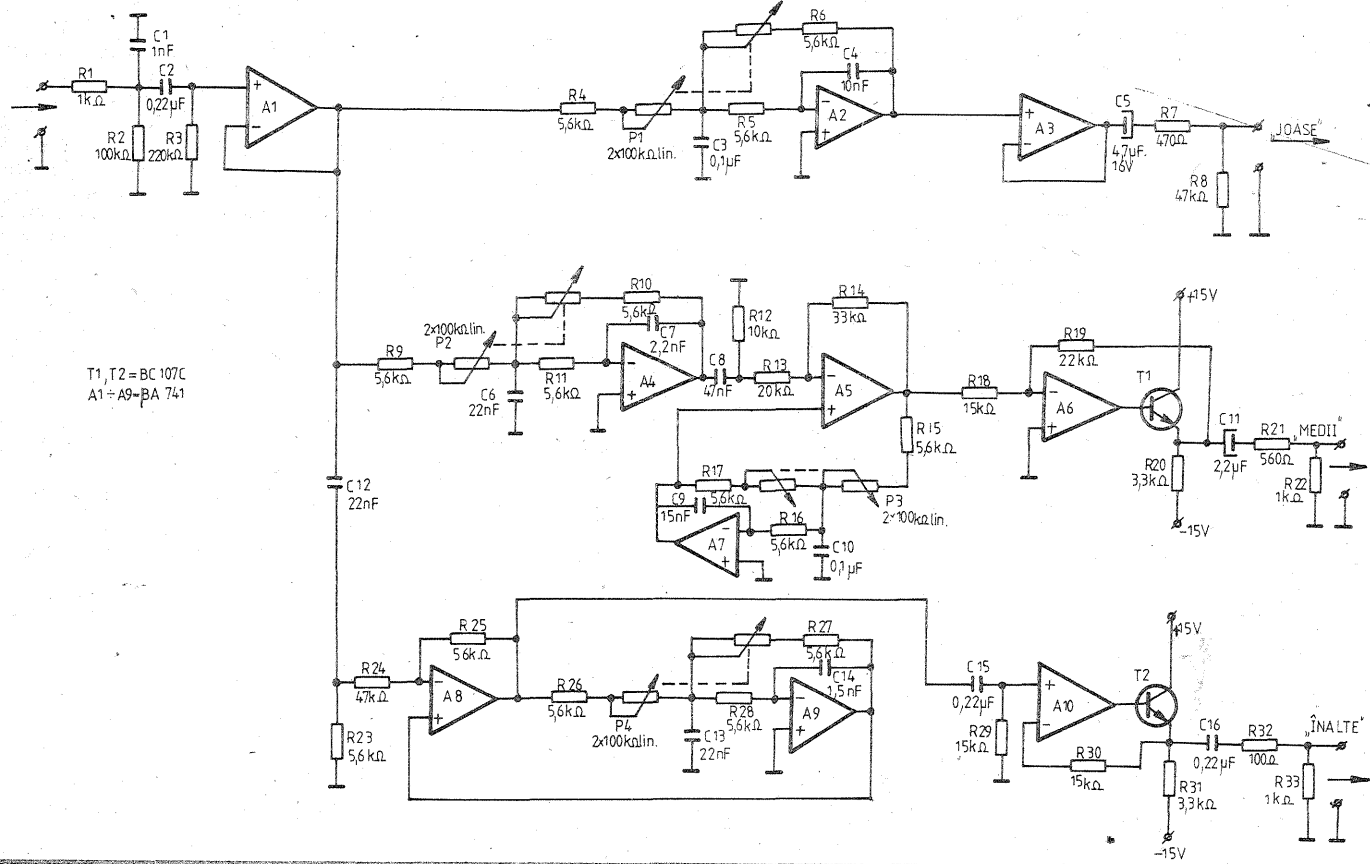
## Caracteristici tehnice

Tensiune de intrare: 0,775 V  
Amplificare în tensiune: 1 (0 dB)  
Frecvențe de separare: joase: 260—1 500 Hz  
medii: 300—1 100 Hz  
1 000—6 000 Hz  
înalte: 1 500—7 900 Hz

Atenuarea filtrelor: 12 dB/octavă  
Distorsiuni armonice: ≤ 0,5%.







T1, T2 = BC 107C  
A1 - A9 = BA 741

figurație cu emitorul comun, în scopul compensării defazajului introdus de filtrul de frecvență medie. La ieșirea fiecărui filtru se pot conecta amplificatoare de putere specializate în domeniul frecvențelor joase, medii și înalte, cu potențio-metrele de volum corespunzătoare.

Alimentarea se face de la o sursă stabilizată de  $\pm 13$  V. Filtrul prezentat în figura 3 reprezintă o variantă a celui din figura 1, în care, în scopul îmbunătățirii performanțelor, etajele realizate cu tranzistoare au fost înlocuite cu etaje similare, realizate cu circuite

integrate. Performanțe mai ridicate se pot obține folosind circuite de tip BO82, BO84 (TL082, TL084). Funcționarea acestui filtru este similară a celui prezentat în figura 1. El nu prezintă alte particularități, cu excepția faptului că ali-

mentarea se face de la o sursă de  $\pm 15$  V. Deși conțin un număr destul de ridicat de componente, iar alegerea domeniului de frecvență optim necesită o anumită experiență, montajele prezentate permit obținerea unor rezultate deosebite.

# PREAMPLIFICATORUL QUAD 44

(URMARE DIN NR. TRECUT)

TABELUL 3

SENSIBILITATE NOMINALĂ DE INTRARE	TENSIUNEA MAXIMĂ LA INTRARE (la $f = 1$ kHz)	IMPEDANȚA DE INTRARE $Z_i/C_i$	RAPORTUL S/Z norma DIN - A
1 mV	35 mV	47 k $\Omega$ /47 pF	63 dB
3 mV	100 mV	47 k $\Omega$ /47 pF	72 dB
10 mV	300 mV	47 k $\Omega$ /230 pF	82 dB

TABELUL 4

TIPUL MODULULUI	SENSIBILITATEA NOMINALĂ ( $\mu$ V)	TENSIUNEA LA INTRARE MAXIMĂ LA $f = 1$ kHz (mV)	IMPEDANȚA DE INTRARE $Z_i/C_i$	RAPORT SEMNAL/ZGOMOT DIN - A (dB)	R1 ( $\Omega$ )	C1 (nF)	R13 ( $\Omega$ )	R17 (k $\Omega$ )	R21 (k $\Omega$ )	C5 C6 ( $\mu$ F)
A	300	14	470 $\Omega$ /22 nF	72	470	22	22	68	560	47
B	100	4,4	100 $\Omega$ /68 nF	64	100	68	6,8	100	1200	68
C	300	14	100 $\Omega$ /68 nF	72	100	68	22	68	560	47
D	100	4,4	470 $\Omega$ /22 nF	64	470	22	22	100	1200	68
E	300	14	100 $\Omega$ /1,5 $\mu$ F	72	100	1500	22	68	560	47

Acest etaj al preamplificatorului QUAD 44 prezintă câteva soluții mai puțin cunoscute, dar deosebit de interesante pentru data apariției aparatului și care prefigurau imperatiile deceniului 9, al compact-discului și al înregistrărilor digitale (fig. 6).  
Primul etaj, echipat cu un A.O., este destinat reglajului de volum prin modificarea reacției paralele de tensiune aplicate A.O. Prin micșorarea amplificării la niveluri reduse scade și zgomotul propriu al

amplificatorului, deci se obține un raport semnal/zgomot bun la niveluri reduse de audiere.  
Urmează un filtru pentru frecvențe înalte de tip LC cu următoarele posibilități:  
— alegerea frecvenței de la care începe tăierea filtrului (5 kHz, 7 kHz sau 10 kHz);  
— reglarea pantei de tăiere a filtrului în limitele 0—25 dB/octavă;  
— by-pass-area filtrului prin trecerea pe poziția CANCEL, semnalizată de către o diodă LED.

Reglajul balansului precede circuitul corector de ton care reprezintă o soluție similară circuitului Baxendall devenit clasic. Se observă însă că apar unele modificări:  
— reglajul nu este continuu, ci în trepte;  
— profunzimea reglajului este foarte mică, de maximum  $\pm 2$  dB.  
În circuit s-a introdus un comutator BASS CONTROL cu următorul rol:  
— în poziția „0” asigură o trecere liniară a frecvențelor joase;

Ing. AURELIAN MATEESCU

acest tip.  
În prezent apăratura de înregistrare și redare a sunetului este ajunsă la un nivel suficient de ridicat de calitate ce să nu justifice intervenții exagerate în mesajul muzical. Apoi, trebuie să ținem cont că, în studio, înregistrările sînt executate de inginerii de sunet, care execută toate corecțiile necesare pentru reliefaarea mesajului muzical al interpreților. Se consideră, deci, ca pentru înțelegerea mesajului să nu se intervină brutal cu corectoare, ce modifică substanțial și neavenit „materia” sonoră.  
Comutatorul marcat TILT CONTROL asigură corecția tonului în jurul frecvenței centrale de 1 kHz în favoarea unui capăt al benzii și în defavoarea celuilalt capăt, dar cu valori foarte mici (1 dB). În acest fel nu se modifică mesajul muzical original, calitatea sa, ci se obține numai o modificare ușoară a tonalității inițiale a sunetului (mai stearsă sau mai strălucitoare). Soluția aceasta seamănă cu soluția regiștrilor de ton utilizată cu 20—30 de ani în urmă la aparatele cu tuburi electronice.  
Ca un argument în plus la această soluție este constatarea pe care a făcut-o oricare audiophil care a ascultat înregistrările muzicale pe compact-disc sau pe bandă magnetică (DAT). În mod sigur, a constatat că nu se simte nevoia nici unei corecții de ton, „totul” fiind spus încă de la înregistrarea de studio.

(CONTINUARE ÎN NR. VIITOR)

# DEMODULATOARE FM DE BANDĂ LARGĂ

Prezentul articol va aborda o temă de mare interes la ora actuală, și anume demodulatoarele FM de bandă largă, destinate recepției emisiunilor TV și radio transmise prin intermediul sateliților geostaționari de telecomunicații. Pentru a câștiga timp și spațiu nu va fi abordată decât în mică măsură partea teoretică a problemei, în schimb se vor trece în revistă cu comentarii la obiect acele montaje care și-au probat în decursul timpului bune performanțe, siguranța în funcționare și nu în ultimă instanță originalitatea și simplitatea soluțiilor. Pe parcursul articolului vor fi prezentate atât aplicații ale componentelor unor firme de prestigiu din străinătate, cit și replicile lor autohtone.

Pentru început va fi prezentat un circuit integrat demodulator FM de bandă largă, al firmei englezești Plessey, și anume SL1455. Este unul dintre cele mai performante componente în domeniu la această oră, cu acesta obținându-se un prag de demodulare tipic de 7 dB.

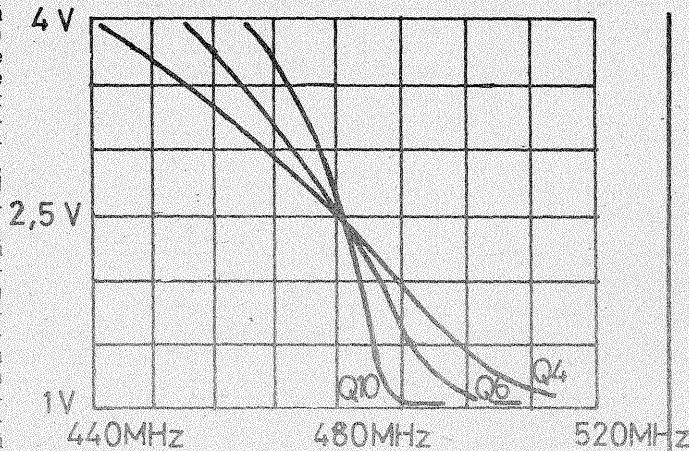
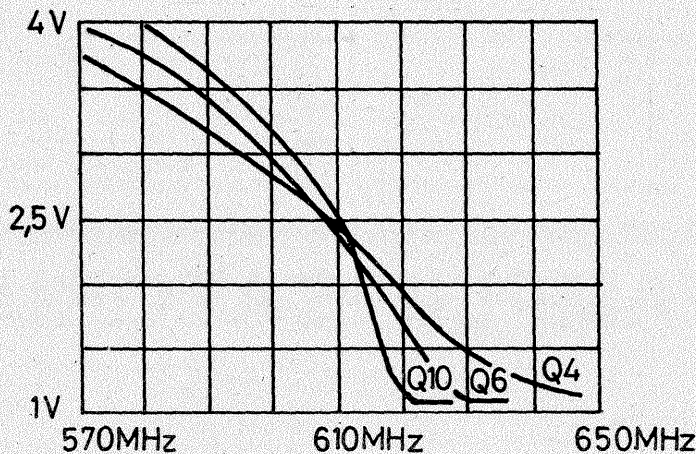
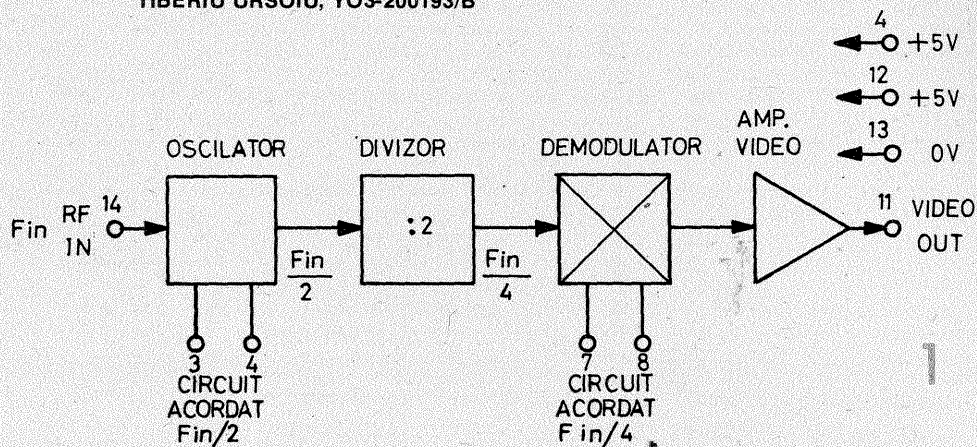
În figura 1 este descrisă schema-bloc internă a circuitului. Pentru inițiatii în domeniu, dar care nu cunosc exact modul de funcționare a acestuia, trebuie arătat că originalitatea soluției constă în utilizarea unui oscilator sincron (oscilator „îrît”), cu semnalul aplicat la intrare, cu valoarea frecvenței  $F_{in}$ . Valoarea frecvenței oscilatorului este însă  $F_{in}/2$ . Semnalul preluat de la oscilator, dar care poartă amprenta semnalului aplicat la intrare (pin 14), este preluat de un divizor cu 2 și apoi astfel preconditionat intră în demodulatorul în cvadratură, avînd valoarea  $F_{in}/4$ . Semnalul demodulat astfel obținut este amplificat în interiorul circuitului integrat, iar rezultatul demodulării este prezentat în figura 2. Deosebit este faptul că această componentă poate opera cu aceleași performanțe în domeniul de frecvențe 300–700 MHz, funcție de valoarea  $F_{in}$ -ului ales. În figura 2 sînt prezentate diagramele de demodulare obținute la valorile standardizate ale  $F_{in}$ -urilor de 612 și 480 MHz, pentru circuitele oscilante din etajul demodulator, avînd factorul de calitate Q specificat în diagrame.

Aplicația concretă este prezentată în figura 3. Noutatea — față de aplicația clasică de demodulare cu această componentă — constă în introducerea unei bucle de compensare a întârzierilor de fază, în zona subpurtătoarei de cromaticitate în PAL, pe frecvența de 4,43 MHz. Datorită acesteia poate fi coborît pragul de demodulare în această zonă a spectrului demodulat, fără a fi afectate celelalte componente ale spectrului. Pentru aceasta se acordază L3 pe frecvența de 4,43 MHz. Pentru performanțe maxime, valorile pieselor din schema electrică prezentată în figura 3 trebuie respectate cu strictețe. În tabelul 1 sînt date valorile specifice ale componentelor R1, C1 și D1, pentru valori ale  $F_{in}$ -urilor de 480 și 612 MHz.

Posesorii unor astfel de componente (de altfel, foarte scumpe) trebuie să apeleze la niște buni specialiști, care să proiecteze judicios cablajul imprimat, altfel performanțele pot fi din start compromise.

Un alt circuit integrat demodulator, bine cunoscut de specialiștii genului, este tipul SL1451. El aparține tot

MIRCEA BRĂNZAN, YO3BBK  
TIBERIU URSOIU, YO3-200193/B



TABEL 1

$F_{in}$	480 MHz	612 MHz
R1 [Ω]	270	330
C1 [pF]	47	27
D1 [IPRS]	BB 139	BB 125

firmei Plessey, iar rezultatele obținute cu acesta sînt notabile: prag de demodulare tipic 8 dB.

Schema lui de funcționare, dar numai cea principală, este prezentată în figura 4. În ansamblu, circuitul realizează o buclă PLL. Organizarea lui internă este substanțial de complexă, el conținînd toate elementele active necesare efectuării funcției de demodulare. Amplificatorul propriu de radiofrecvență permite la intrare semnale cu nivel cuprins între -25 dBm și 0 dBm, fără ca rezultatul demodulării să se modifice. Acest amplificator este cuplat intern cu detectorul de fază, care permite comparări ale fazei, cu precizie de aproximativ 1°. Eroarea de fază detectată este apoi amplificată de amplificatorul video și poate fi transmisă simultan pe două căi: una care reglează oscilatorul comandat în tensiune (OCT), prin bucla de reglaj de ordinul I, și o altă, bucla de reglare de ordinul II, care în aplicația practică din figura 5 compensează întârzierile de fază în zona subpurtătoarei de cromaticitate pe frecvența de 4,43 MHz (pentru PAL), prin intermediul circuitului oscilant L3.

TABEL 2

$F_{in}$ [MHz]	480	612
L1 [nH]	15	12
L2 [spire]	8	4 1/2
C1 [pF]	5,6	3,9
C2 [pF]	4,7	3,3
C3 [pF]	4,7	3,3
C4 [pF]	5,6	3,3
C5 [pF]	270	330







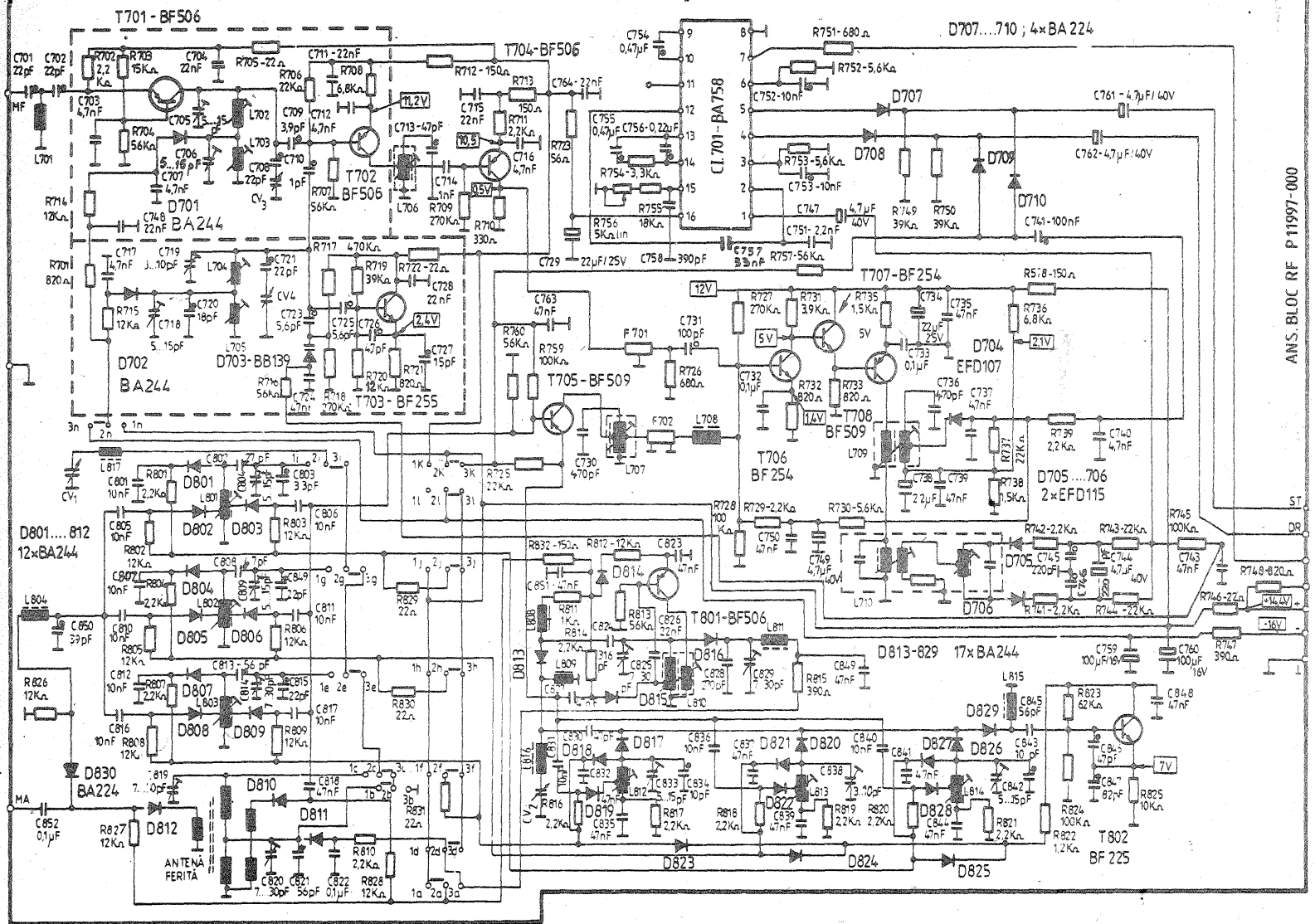


**DI. LUNGOCI ADRIAN — Fetești**

Vă prezentăm alăturat blocul RF de la Stereo-Compact, solicitat de dv. Sperăm ca, având la dispoziție schema, să rezolvați depanarea.

**DI. BIRĂU LUIGI — Hunedoara**

Apariția în orice condiții a unei culori denotă o dereglare a televizorului. Remedierea se face cu ajutorul unui generator de semnal și cu ceva experiență tehnică.



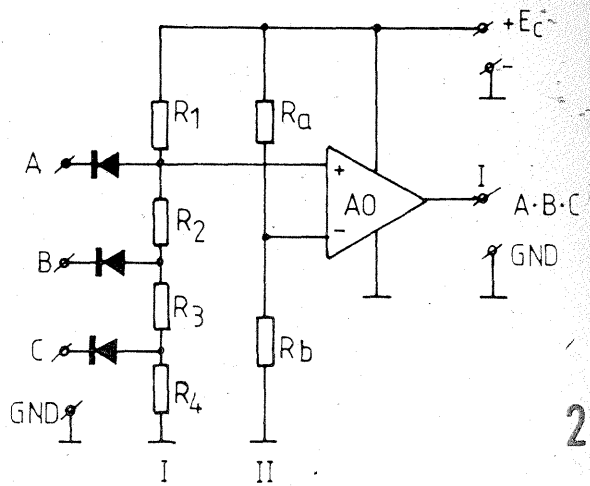
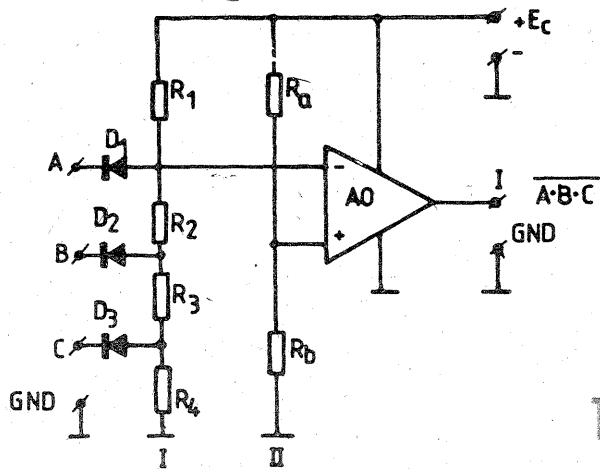
ANS. BLOC RF P.11997-000

**LAZĂR CORNEL — Timișoara**

Vă prezentăm alăturat tablele cu echivalența unor circuite integrate de diverse producții care cred că vă vor fi de folos.

TYPE TO BE REPLACED	SIGNETICS REPLACEMENT	AMLM311H	LM311H	CA747CF	μA747CF	DS7820J	DS7820F
AD741CN	μA741CN	CA111F	LM111F	CA747CT	μA747CH	DS7830J	DS7830F
AD559JD	MC1408-8F	CA111T	LM111H	CA747F	μA747F	DS7880J	DS7880F
AD559K	MC1408-8F	CA124F	LM124F	CA747T	μA747H	DS8820J	DS8820F
AD559KD	MC1408-8F	CA139AF	LM139AF	CA748CE	μA748CN	DS8820AJ	DS8820AF
AD559S	MC1508-8F	CA139F	LM139F	CA748CF	μA748CF	DS8820AN	DS8820AN
AD559SD	MC1508-8F	CA211F	LM211F	CA748F	μA748F	DS8820N	DS8820N
AM555DC	NE555F	CA211T	LM211H	CA1458E	MC1458N	DS8830J	DS8830F
AM555DM	SE555F	CA224F	LM224F	CA1458F	MC1458FE	DS8830N	DS8830N
AM555HC	NE555H	CA239AF	LM239F	CA1458T	MC1458H	DS8880J	DS8880F
AM555HM	SE555H	CA239F	LM239F	CA1558T	MC1558H	DS8880N	DS8880N
AM555TC	NE555N	CA301AF	LM301AFE	CA3081E	CA3081N		
AM723DC	μA723CF	CA311F	LM311F	CA3082E	CA3082N	LM111D	LM111F
AM723DM	μA723F	CA311T	LM311H	CA3163E	CA3163N	LM111H	LM111H
AM723HC	μA723CH	CA324E	LM324N	DM7820AJ	DS7820AF	LM111J	LM111F
AM723HM	μA723H	CA324F	LM324F	DM7820J	DS7820F	LM111L	LM111H
AM741DC	μA741CFE	CA339E	LM339N	DM7830J	DS7830F	LM119D	LM119F
AM741DM	μA741FE	CA339F	LM339F	DM7880J	DS7880F	LM119H	LM119H
AM747DC	μA747CF	CA355CE	NE555N	DM8820AJ	DS8820AF	LM119J	LM119F
AM747DM	μA747F	CA355CF	NE555F	DM8820AN	DS8820AN	LM124D	LM124F
AM747HC	μA747CH	CA355CT	NE555H	DM8820J	DS8820F	LM124J	LM124F
AM747HM	μA747H	CA355F	SE555F	DM8820N	DS8820N	LM139D	LM139F
AM748DC	μA748CF	CA355T	SE555H	DM8830J	DS8830F	LM139J	LM139F
AM748DM	μA748F	CA723CE	μA723CN	DM8830N	DS8830N	LM158H	LM158H
AMLM111H	LM111H	CA723CT	μA723CH	DM8880J	DS8880F	LM158JG	LM158FE
AMLM211D	LM211F	CA723E	μA723N	DM8880N	DS8880N	LM158L	LM158H
AMLM211H	LM211H	CA723T	μA723H	DS1488J	MC1488F	LM161D	SE529F
AMLM311D	LM311F	CA741CE	μA741CN	DS1489AJ	MC1489AF	LM161H	SE529H
		CA741CF	μA741CFE	DS1489J	MC1489F	LM161J	SE529F
		CA741F	μA741FE	DS7820AJ	DS7820AF	LM193L	LM193H

# POARTĂ LOGICĂ CU AMPLIFICATOR OPERAȚIONAL



În principiu, este folosită proprietatea de comparator a amplificatoarelor operaționale.

Figura 1 ilustrează o poartă logică de tip ȘI-NU cu 3 intrări. Atât timp cât oricare din diodele D1, D2, D3 este catodul pus la masă, (GND), ieșirea amplificatorului operațional se va găsi în starea „SUS” (Ec). Când toate diodele vor fi la un potențial apropiat de cel al alimentării sau în aer, atunci ieșirea I se va găsi în starea „JOS” (0 V).

Similar cu funcționarea unei porți ȘI-NU va lucra și poarta de tip ȘI cu deosebirea că se vor inversa stările de ieșire față de cazul anterior. Pentru a proiecta o poartă cu „n” intrări, numărul de rezistențelor din brațul I va fi „n+1” și se va alege aceeași valoare de rezistență pentru toate (în cazul nostru  $R_1 = R_2 = R_3 = R_4 = r$ ).

În brațul II numărul de rezistențe este invariabil și egal cu 2 (Ra și Rb). Valoarea acestora se va lua, pentru comoditate,  $R_a = r$  și  $R_b = n \cdot r$  (în cazul nostru, de exemplu,  $R_a = 1,2 \cdot r$ , iar  $R_b = 3 \cdot r$ ).

Bineînțeles că la dimensionarea rezistențelor se va ține cont și de curentul ce trece prin diode cînt acestea sînt cu catodul la masă, în sensul că prin aceste diode nu trebuie depășit curentul maxim admis de dispozitiv.

Pentru exemplele noastre se pot folosi amplificatoarele operaționale uzuale (βM324, βA741 etc.) la o tensiune  $E_c = 12 \text{ V}$ , rezistențele  $R_1 = R_2 = R_3 = R_4 = 10 \text{ k}\Omega/0,125 \text{ W}$ ,  $R_a = 12 \text{ k}\Omega/0,125 \text{ W}$ ,  $R_b = 30 \text{ k}\Omega/0,125 \text{ W}$ , diodele D1, D2, D3 de tip 1N4148.

În cele ce urmează se prezintă modul de realizare a unei porți logice de tip ȘI-NU și a unei porți logice de tip ȘI.

Metoda este simplă, este aplicabilă teoretic pentru un număr oricît de mare de intrări și este duală, în sensul că se poate trece ușor de la o poartă ȘI-NU la una ȘI și invers.

# BISTABIL CU AMPLIFICATOR OPERAȚIONAL

O aplicație aparte față de configurațiile clasice de utilizare a amplificatorului operațional o constituie și funcționarea sa ca element bistabil.

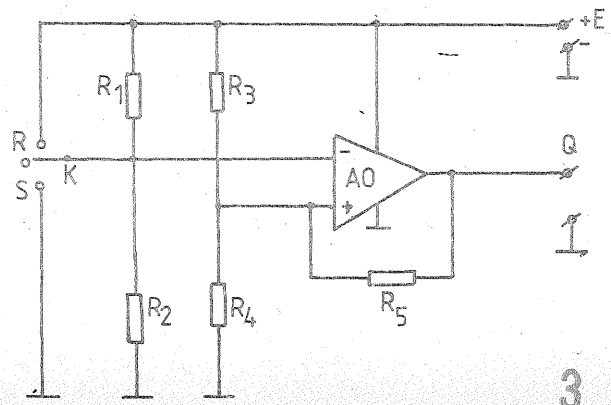
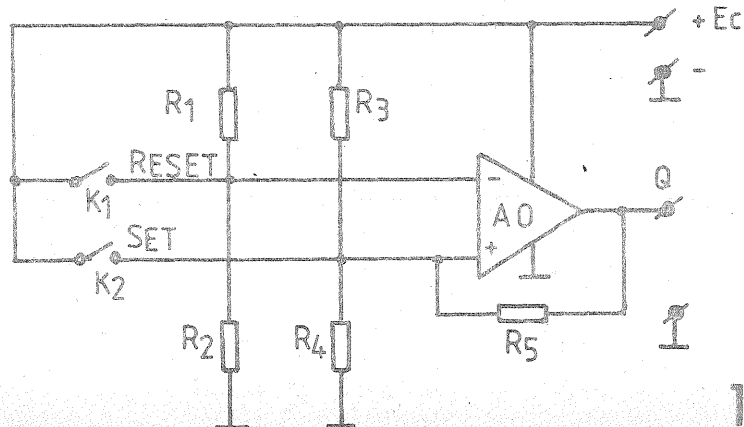
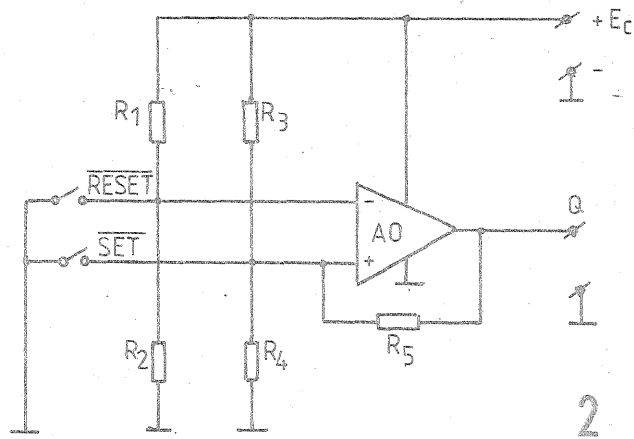
Așa cum se observă din figura 1, bistabilul descris în continuare este compus, în principiu, din două divizoare rezistive R1, R2 și R3, R4, la care se atașează amplificatorul operațional cu o reacție pozitivă R5. De asemenea, acesta are două intrări RESET, SET (K1, K2). Acest bistabil este de tip RS, sincron, cu o singură ieșire, Q.

Funcționarea sa este simplă. Facem de la început presupunerea că excursia tensiunii la ieșire se face între 0 V și Ec. Astfel, la închiderea, de exemplu, a întrerupătorului K1, indiferent de starea de ieșire inițială, potențialul intrării inversoare îl depășește pe cel al intrării neinversoare și ieșirea Q este forțată în starea „jos” (0 V, K2 — deschis). La deschiderea lui K1 ieșirea rămîne în aceeași stare datorită reacției pozitive care menține potențialul intrării SET sub cel al intrării RESET. Similar, la închiderea lui K2 (K1 — deschis), potențialul intrării neinversoare depășește pe cel al intrării inversoare și ieșirea este forțată în starea „SUS”. La deschiderea lui K2, Q rămîne neschimbat, potențialul intrării SET fiind mai mare decît al intrării RESET, tot datorită reacției pozitive prin R5.

O altă modalitate de comandă a bistabilului este prezentată în figura 2. Contactele K1 și K2 se închid către masă, funcționarea fiind asemănătoare cu cea descrisă anterior, cu observația că se inversează rolul intrărilor.

Bistabilul mai poate fi comandat (ca în figura 3) cu un comutator cu trei poziții pe oricare din cele două intrări. S-a ales pentru exemplificare comanda pe intrarea inversoare, dar tot atît de bine se poate utiliza intrarea neinversoare. Trecerea bistabilului într-o stare sau alta se face acționînd comutatorul K într-una din pozițiile R sau S. La trecerea în poziția de mijloc (repaus), starea ieșirii nu se modifică față de cea anterioară comutării. Valorile rezistențelor R1, ..., R5 nu sînt critice. Se pot alege  $E_c = 12 \text{ V}$ ,  $R_1 = R_2 = R_3 = R_4 = R_5 = 20 \text{ k}\Omega$ . Față de elementele bistabile „consacrate”, cu tranzistoare, circuitele integrate TTL, CMOS etc., viteza de răspuns a acestui bistabil este mult mai mică (timpul de comutare este dictat de tensiunea de alimentare și SLEW-RATE-ul amplificatorului operațional utilizat).

# OPERAȚIONAL





În general, regulatoarele electronice de turație pentru motoare de curent continuu de tensiune redusă și de putere relativ mică sînt realizate pe baza unor stabilizatoare de tensiune.

De multe ori, din cauza uzurii sau a unei reglări defectuoase a sistemelor mecanice de antrenare, derulare etc., acționate de astfel de motoare, apar frecări, ceea ce se repercutează asupra turației lor, care se modifică în mod semnificativ. Deși o anumită categorie de motoare de curent continuu au o caracteristică cuplu-turație ce le permite menținerea relativ constantă, în limite acceptabile, a turației, chiar la apariția unor forțe de frecare variabile ca mărime, în unele cazuri aceasta se dovedește a fi inefficientă. Pentru obținerea unei fluctuații cât mai mici a vitezei de rotație este necesară o variere compensatorie a tensiunii aplicate motorului, modificînd prin aceasta curentul prin înfășurările sale și, totodată, cuplul la ax.

Sursele uzuale stabilizatoare de tensiune, liniare sau în comutație, au o rezistență  $r$  nenulă și pozitivă, din care cauză diferența de potențial  $U_{ab}$  la bornele lor variază o dată cu modificarea rezistenței de sarcină  $R_s$  aplicată la ieșire, după cum se poate observa în figura 1.

Se deduce că

$$U_{ab} = E \frac{R_s}{R_s + r}$$

unde  $E$  este tensiunea în gol a stabilizatorului, iar rolul rezistenței  $R_s$  poate fi luat de sarcina reprezentată de un motor de curent continuu. Această sarcină reprezentată de motor este variabilă, în sensul în care aceasta scade la apariția unor forțe ce se opun mișcării de rotație a axului.

Relativ la relația de mai sus concluzionăm că obținerea unei creșteri a tensiunii  $U_{ab}$  peste valoarea inițială  $E$  nu este posibilă decît în cazul în care  $r$  este negativă și  $|r| < R_s$ . Acest lucru este ușor de realizat chiar cu ajutorul surselor stabilizate simple ce permit ca valoarea rezistenței interne  $r$  să scadă la zero și, prin ajustarea dintr-un potențiomtru, să devină negativă. Pentru exemplificare este prezentat un stabilizator cu tranzistoare (fig. 2).

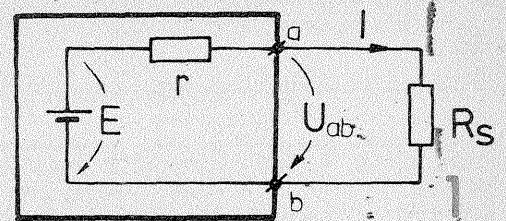
De menționat că această sursă nu este protejată la scurtcircuit sau la rezistențe de sarcină excesiv de mici.

Față de variantele „clasice”, elementele noi ale schemei sînt rezistențele  $R_2$ ,  $R_5$  și potențiomtrul semireglabil  $P$ .

Rezistența  $R_5$  constituie un traductor de curent. Diferența de potențial la bornele ei este direct proporțională cu curentul  $I$  prin sarcină (motor). Cu ajutorul potențiometrului semireglabil  $P$ , procente din această diferență de potențial se aplică pe baza tranzistorului  $T_1$ , modificînd tensiunea de referință a acestuia.

Variația tensiunii de referință este posibilă grație rezistenței  $R_2$ , dispusă între dioda Zener și baza tranzistorului  $T_1$ , obținîndu-se practic un sator de potențiale.

# REGULATOR DE TURAJIE



cătoare atunci cînd curentul de sarcină crește. Un astfel de tip de sursă cu rezistență negativă este utilizat în casetofonele moderne pentru menținerea constantă a turației motoarelor de curent continuu.

Pentru reglarea valorii potențiometrului  $P$  se va proceda în felul următor: se va măsura valoarea tensiunii de ieșire  $U_{ab}$  în gol; se conectează apoi sarcina nominală (motorul) și se rotește cursorul potențiometrului semireglabil  $P$  astfel încît tensiunea să fie ceva mai mare decît valoarea măsurată în gol; sursa astfel reglată are rezistență internă negativă.

Recapitulînd, procedeul constă în „alterarea” tensiunii de referință pe măsură ce curentul de sarcină se modifică. El este universal, adică se poate aplica comod unui număr apreciabil de tipuri de stabilizatoare liniare cu reacție.

Pentru a aplica acest principiu se va ține seama de două lucruri:

1) tensiunea de compensare trebuie să aibă faza corespunzătoare astfel ca apariția ei să acționeze în sensul creșterii tensiunii de ieșire  $U_{ab}$  cînd curentul de sarcină crește;

2) potențialele punctelor de unde se preia și unde se aplică tensiunea compensatorie trebuie să fie apropiate; în caz contrar se pot produce dereglări importante în funcționarea stabilizatorului.

Procedeul prezentat permite anularea rezistenței interne a stabilizatorului numai pentru o singură valoare a tensiunii de ieșire. Trecerea spre valori negative a acestei rezistențe se poate

face însă pentru toată gama de tensiuni de ieșire în cazul unui stabilizator reglabil.

În schema din figura 3 este prezentat un variator de turație.

Componentele care au rolul de aducere a rezistenței interne în zona de valori negative sînt  $R_3$ ,  $R_6$  și  $P_1$ , ele acționînd absolut similar ca  $R_5$ ,  $R_3$  și  $P$  din figura 2. Montajul este alcătuit din patru blocuri distincte. Amplificatorul operațional  $A_4$  împreună cu elementele auxiliare, inclusiv LED-ul, alcătuiesc o sursă de tensiune fixă, cuprinsă între 9 V și 12 V, funcție de tipul elementului electroluminescent.

Această tensiune este preluată potențiometric ( $P_2$ ) și aplicată celui de-al doilea bloc, de amplificare-separare,  $A_3$ .

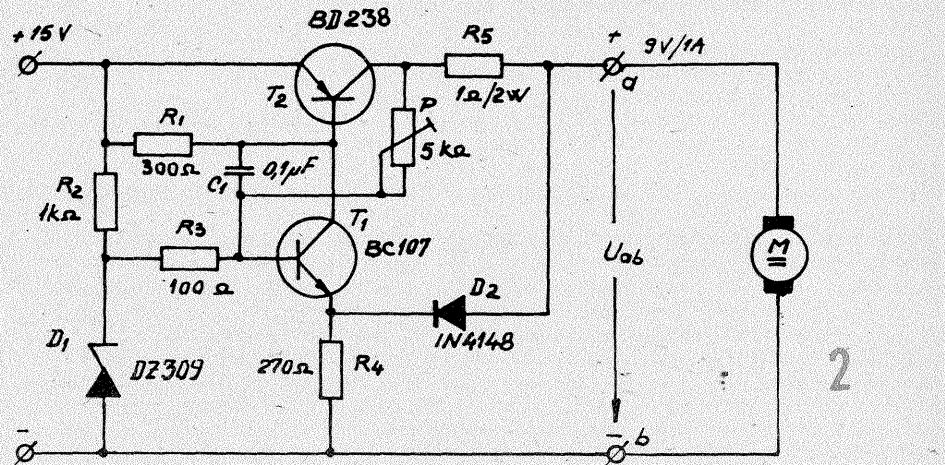
Elementul de comandă a tranzistoarelor  $T_2$  și  $T_3$  este realizat de al treilea bloc cu amplificatorul operațional  $A_2$ .

Protecția tranzistoarelor serie se face prin limitarea curentului la scurtcircuit cu amplificatorul  $A_1$ ,  $D_1$ ,  $R_3$  și  $R_7$ .

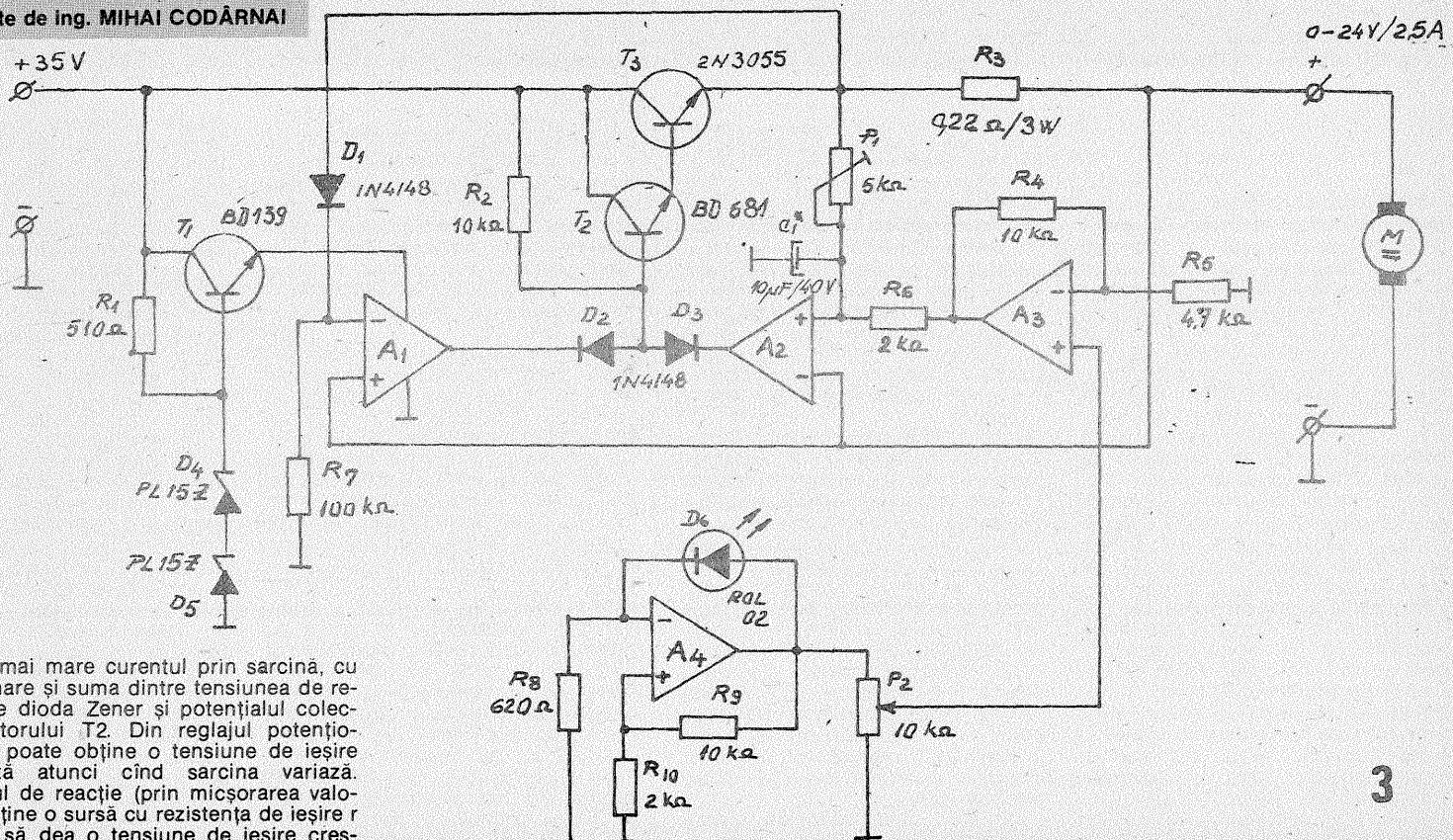
Condensatorul  $C_1$  se tatonează, funcție de sarcina pe care o reprezintă motorul, de așa manieră încît să nu apară fenomene oscilante cu frecvența joasă.

## BIBLIOGRAFIE:

- C. Moldoveanu, A. Stoica — „Stabilizatoare de tensiune”, Ed. Tehnică, seria RTV nr. 122.
- C.A. Popescu, I. Rîsteanu — „Stabilizatoare de tensiune”, Ed. Tehnică, seria RTV nr. 142.
- Colecția revistei „Tehnum”.



## Pagini realizate de Ing. MIHAI CODĂRNAI

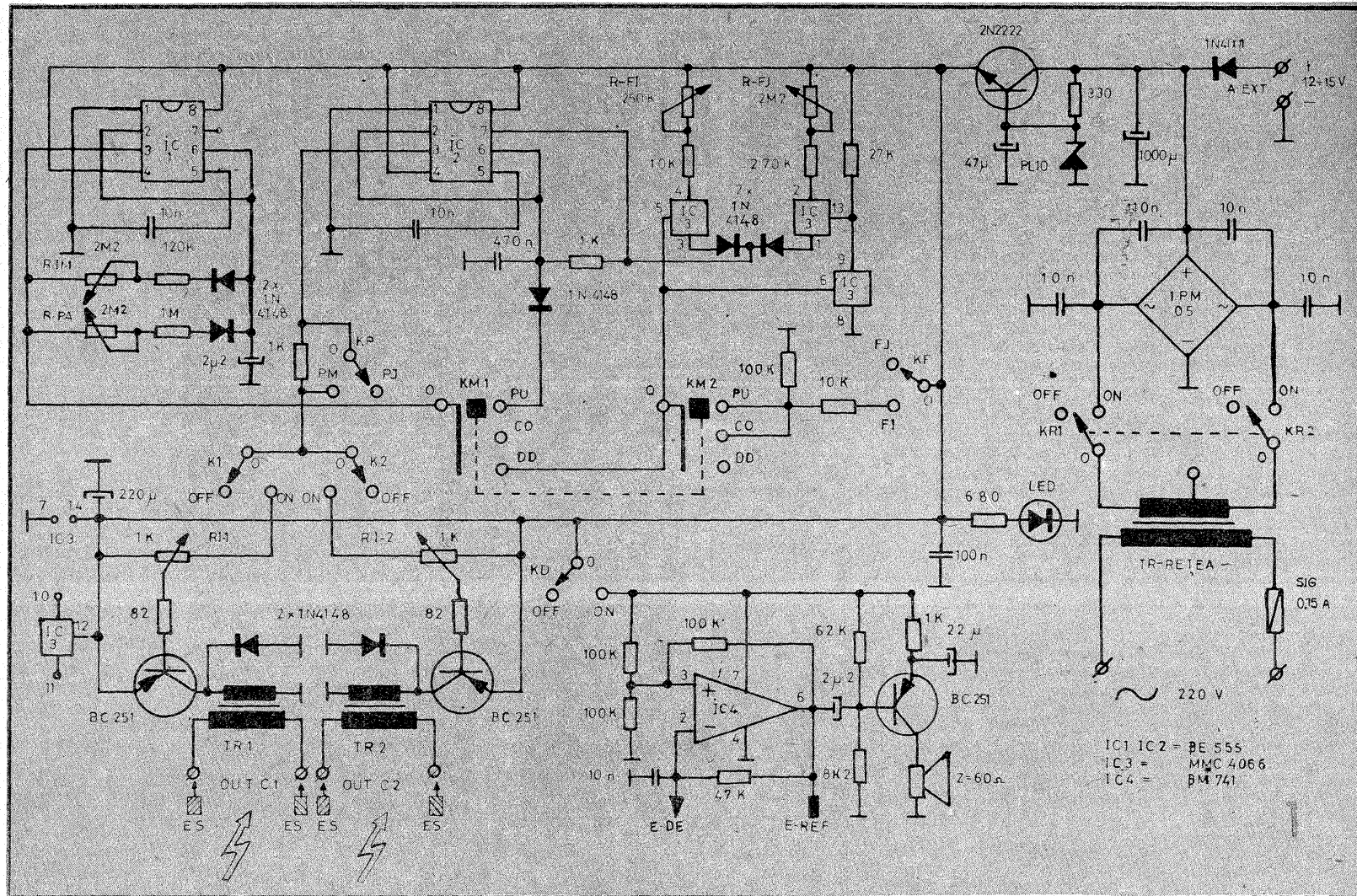


Cu cît este mai mare curentul prin sarcină, cu atît este mai mare și suma dintre tensiunea de referință dată de dioda Zener și potențialul colectorului tranzistorului  $T_2$ . Din reglajul potențiometrului  $P$  se poate obține o tensiune de ieșire  $U_{ab}$  constantă atunci cînd sarcina variază. Măriind factorul de reacție (prin micșorarea valorii lui  $P$ ), se obține o sursă cu rezistența de ieșire  $r$  negativă care să dea o tensiune de ieșire cres-



# NEUROSTIMULATOR TRANSCUTAN CU DOUĂ CANALE ȘI DETECTOR DE PUNCTE DE ACUPUNCTURĂ

MIRCEA BRĂNZAN



**A**ceastă lucrare se adresează, pentru utilizare, cadrelor medicale specializate în tratarea durerilor acute și cronice cu ajutorul electrostimulațiilor, tratarea tulburărilor funcționale cu ajutorul electroacupuncturii sau în scheme de tratament care reclamă electro-masaajul. Pentru a ridica precizia de aplicare a electrozilor în cazul utilizării montajului pentru electroacupunctură, electrostimulatorul a fost dotat și cu un detector de puncte de acupunctură. Pentru tratarea în paralel după aceeași schemă de tratament a două locuri diferite, electrostimulatorul are în dotare două canale distincte, C1 și C2, ce pot acționa simultan.

Realizarea reclamă din partea celor care o pun în practică o bună pregătire în domeniul montajelor electronice, de preferință tehnicieni în electronica medicală.

Schema electrică a neurostimulatorului este prezentată în figura 1. Modulurile de lucru ale acestui electrostimulator se poziționează din comutatorul KM1, 2 și sînt: pulsatoriu (PU); continuu (CO) și dens dispersi (DD).

Semnalul generat de acest montaj este prezentat în figura 2 și reprezintă forma aproximativă a semnalului măsurat în gol (undă ascuțită desimetrizată). Curentul furnizat pe o sarcină de 1 k $\Omega$ , reglabil independent pe fiecare canal, este 0—50 mA. Frecvența semnalului generat este reglabilă în mod continuu în două trepte. Cînd comutatorul frecvențelor de lucru KF este în poziția FJ, sînt generate semnale cu frecvență joasă, de 1,5—11 Hz, frecvență care se reglează din R—FJ. Cînd acest comutator se trece în poziția FI, sînt generate semnale cu frecvență înaltă, de 12—200 Hz, iar reglarea acestora se realizează din R—FI.

Cele două canale independente C1 și C2 se pot pune separat sau simultan în funcțiune prin acționarea comutatoarelor K1 și K2, iar reglarea intensității semnalului generat se realizează din RI-1 și, respectiv, RI-2. Pe traseul atacului etajelor finale a fost intercalat un comutator KP cu ajutorul căruia se realizează două trepte de reglaj brut al puterii (intensității semnalului generat); respectiv putere mare (PM) și putere joasă (PJ).

Din KR1, 2 se realizează punerea în funcțiune a montajului după cu-

pierea la rețeaua de 220 V c.a. La borna A-EXT se poate aplica, în lipsa tensiunii rețelei, o sursă exterioară de alimentare (de exemplu acumulatorul automobilului), electrostimulatorul devenind astfel portabil. Punerea în funcțiune a detectorului de puncte de acupunctură se realizează din comutatorul KD în poziția ON.

Revenind la modulurile de lucru, în tabel sînt menționate diagramele semnalelor generate și reglajele ce se aplică pentru funcționarea montajului în parametrii aieși. Astfel:

— în regim PU, cînd KF este în poziția FJ, va rezulta un semnal de FJ generat în trenuri de impulsuri, în care durata trenurilor se reglează în gama 0,2—3,5 s din R-IM, în timp ce durata pauzelor se reglează din R-PA în gama 1,5—4,5 s. Cînd KF este în poziția FI, va rezulta un semnal de FI generat tot în trenuri de impulsuri cu durata trenurilor și pauzelor de mai sus. Frecvențele joase (FJ) în gama 1,5—11 Hz sînt utilizate cu predilecție în tonifiere, iar frecvențele înalte (FI) în gama 12—200 Hz au utilizare în sedare;

— în regim CO, cînd KF este în poziția FJ, va rezulta un semnal continuu reglabil în frecvență din R-FJ. Cînd KF este în poziția FI, va

rezulta un semnal continuu reglabil în frecvență din R-FI. Indicațiile de tratament sînt cele de la regimul PU, iar reglajele R-IM și R-PA nu au nici o influență în acest caz;

— în regim DD, electrostimulatorul va genera un semnal continuu în componența căruia vor alterna FJ și FI. Frecvențele FJ și FI se reglează separat din R-FJ și R-FI, iar durata acțiunii acestora se reglează de această dată din R-IM pentru FJ și R-PA pentru FI. În general astfel de semnale sînt utilizate în anestezii locale sau tratarea unor paralizii.

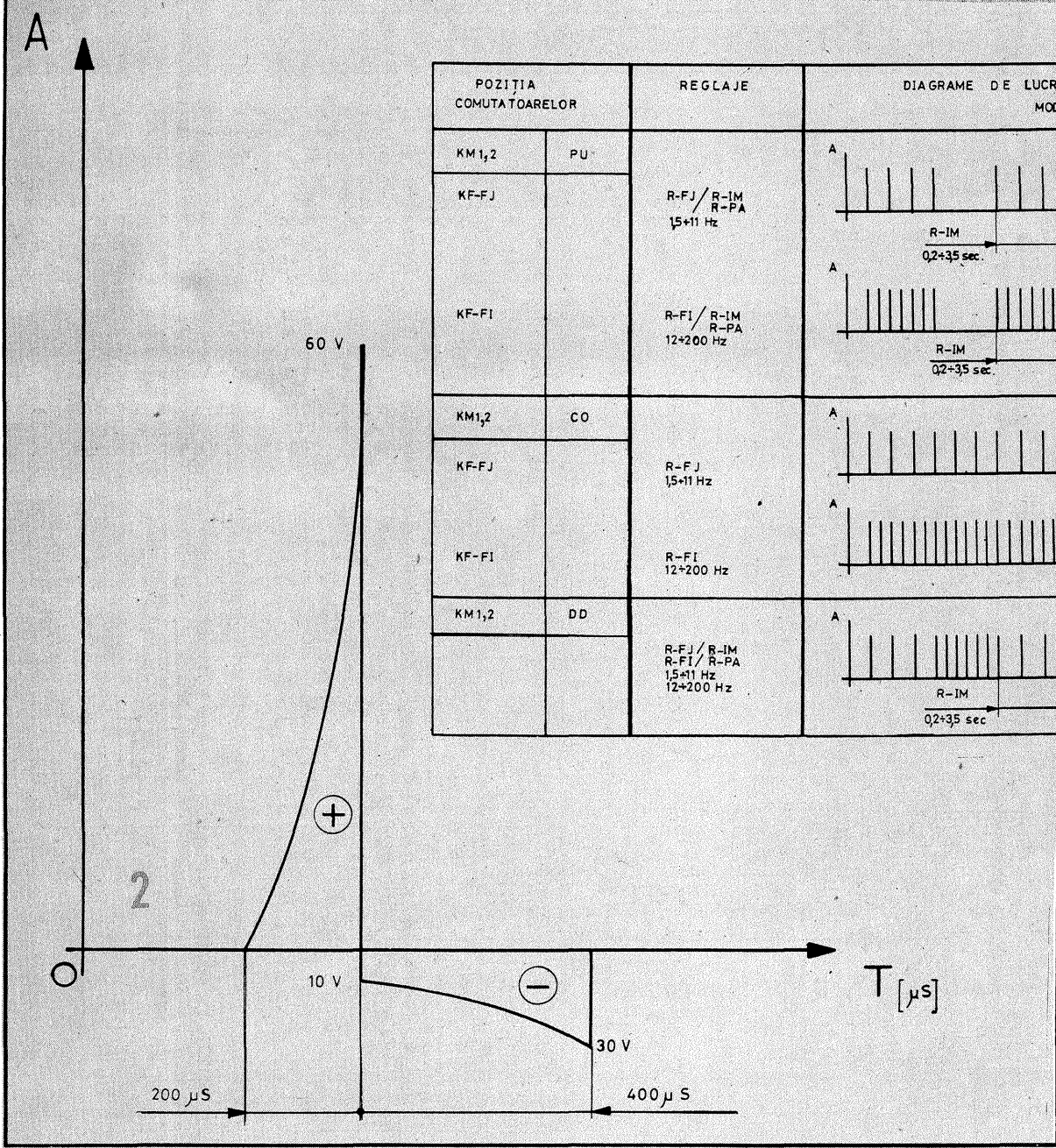
Transformatoarele de ieșire TR1 și TR2 pot fi cele utilizate în etajele driver sau de difuzor ale etajelor audio tranzistoriale de la radioreceptoarele „MAMAIA” sau „ALBATROS”. Numărul de spire din primar este de 100, iar în secundar de 1 500, cu sîrmă CuEm  $\varnothing$  0,15—0,2 mm.

Ca transformator de alimentare din rețea a fost folosit în această aplicație cel de „sonerie”, dar convine orice alt transformator de mică putere și care să furnizeze în secundar 9—12 V c.a.

Electrozii de stimulare ES de la ieșirea canalelor C1 și C2 vor fi cei adecvați tratării prin electrostimulare. Se va depista înainte de folosire care dintre borne sînt cele care generează impulsuri pozitive și cele



POZITIA COMUTATOARELOR		REGLAJE	DIAGrame DE LUCRU MODURI DE LUCRU
KM1,2	PU	R-FJ / R-IM R-PA 15+11 Hz	
KF-FJ			
KF-FI		R-FI / R-IM R-PA 12+200 Hz	
KM1,2	CO	R-FJ 15+11 Hz	
KF-FJ			
KF-FI		R-FI 12+200 Hz	
KM1,2	DD	R-FJ / R-IM R-FI / R-PA 15+11 Hz 12+200 Hz	



marchează trecerea printr-un punct de acupunctură. Forma acestor electrozi este specifică investigațiilor medicale de această natură și nu face obiectul acestui articol.

Atrag atenția că un astfel de electrostimulator este indicat să fie utilizat numai de către cadre specializate în aceste genuri de tratament și care cunosc toate precauțiile ce trebuie luate, inclusiv cele de electrosecuritate.

**BIBLIOGRAFIE:**

- CONSTANTIN IONESCU-TÎRGOVIȘTE, „Electroacupunctura”, Editura Sport-Turism, București, 1984.
- ÎNTRERINDEREA ELECTRONICA INDUSTRIALĂ, CALMOS-TIM NTS-02 — carte tehnică.

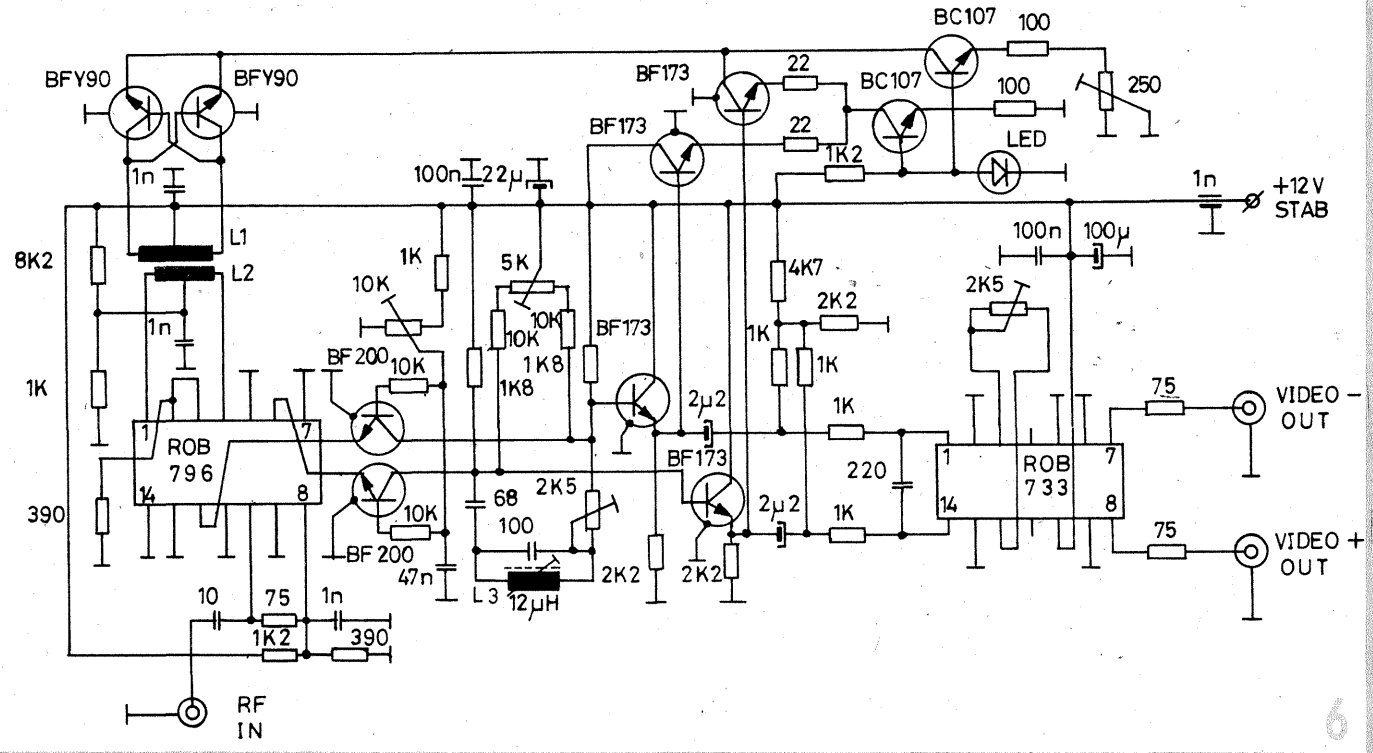
care generează impulsuri negative, cu ajutorul osciloscopului, avînd în vedere că forma de undă este ascuțită, desimetrizată (fig. 2).

Detectorul de puncte de acu-

punctură este în realitate un generator audio a cărui frecvență de repaus este deviată spre frecvențe mai înalte, în funcție de rezistența tegumentului aplicată la bornele E-

DE (electrod de detecție) și E-REF (electrod de referință). O creștere substanțială a frecvenței semnalului audio generat față de cea de măsură a tegumentului indiferent

(URMARE DIN PAG. 11)  
**DEMODULATOARE FM**





# CONVERTOR U.U.S.

ORLANDO BĂRBULESCU

Pentru a veni în sprijinul celor ce doresc să extindă capacitățile de lucru ale aparatului AMPLITUNER "DELIA" — Electromures, vă trimit la redacție următorul convertor U.U.S. — CCIR/OIRT.

Acesta realizează conversia semnalelor din banda de frecvențe 88—108 MHz în banda proprie a aparatului 65—73 MHz, fără — fapt important — a aduce modificări în aparat.

Schema-bloc de principiu este dată în figura 1.

F.T.S. este un filtru „trece-sus” ce lasă să treacă practic neatenuate semnalele a căror frecvență este mai mare de 88 MHz. Caracteristica amplitudine-frecvență a filtrului este redată în figura 2a. Semnalul se aplică apoi blocului E.A., care este un etaj de amestec. Acest etaj împreună cu semnalele de la O.S. — oscilatorul local de frecvență fixă (aproximativ 167 MHz) — realizează heterodinarea semnalelor, rezultând un semnal de „frecvență intermediară” corespunzător gamei OIRT, astfel:

— semnalul de 88 MHz va avea corespondentul 79 MHz (167—88 = 79) și cel de 108 MHz va avea corespondentul 59 MHz (167—108 = 59), adică semnalele de la ieșirea E.A. vor fi în gama 59—79 MHz, deci peste limitele OIRT.

Semnalele de la E.A. se aplică unui filtru „trece-jos” cu frecvența de tăiere de 75 MHz. Filtrul are ca rol și eliminarea semnalelor de la oscilatorul local și componentelor spectrale de frecvențe superioare, care, odată amplificate de etajul de amestec, duc la perturbarea recepției.

Caracteristicile amplitudine-frecvență ale filtrului „trece-jos” sînt redată în figura 2b.

Schema electrică ce asigură practic toate funcțiunile enumerate este redată în figura 3.

Filtrul „trece-sus” este un filtru de tip T, format din C1, L1, C2.

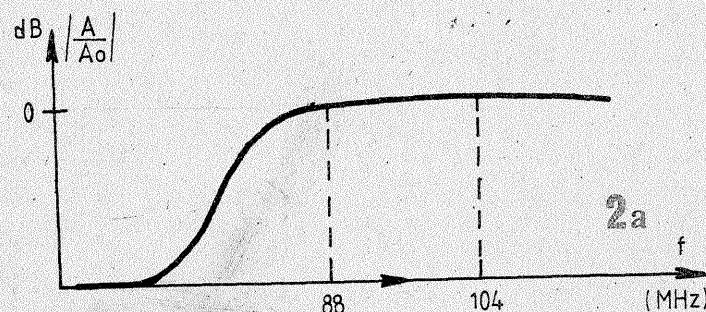
Etajul de amestec este realizat cu tranzistorul T1, npn, în montaj cu bază comună.

Alimentarea montajului se realizează cu o tensiune negativă de -9 V c.c.

Emitorul este polarizat prin R1, iar baza prin R2. Colectorul este pus la masă din punct de vedere continuu prin L2 și șocul L3. Dioda stabilizatoare D1, ce poate fi realizată și din trei diode cu siliciu în stare de conducție, asigură o tensiune emitor-bază fixă pentru tranzistoarele T1 și T2. C3, C7 și C8 sînt condensatoare de decuplare și filtraj. Semnalul de la etajul de amestec este transmis la borna de ieșire B prin intermediul filtrului „trece-jos” de tip  $\pi$ , format din C5, L2, C6.

Rezistența R6 are ca rol — fiind de impedanță superioară impedanței de intrare a blocului U.U.S. (75  $\Omega$ ) — preîntîmpinarea oscilațiilor proprii la cuplarea convertorului cu blocul U.U.S. al aparatului. Oscilatorul local, realizat cu T2, funcționează în montaj cu bază-comună, fiind de tip Colpitts.

Piesele folosite sînt:  
— condensatoare de tip ceramic, disc:  
C1, C2, C5 — 33 pF  $\pm$ 5%;  
C4 — 1,5 pF  $\pm$ 0,25 pF;  
C6 — 22 pF  $\pm$ 10%;  
C3, C7, C8, C11 — 1—4,7 nF;  
C9, C10 — 4,7 pF  $\pm$ 0,25 pF;  
C12 — 5,6 pF  $\pm$ 0,25 pF;



— rezistoare miniatură cu toleranță 10%;

R1, R3 — 750  $\Omega$  (820  $\Omega$ );

R2, R4 — 2,2 k $\Omega$ ;

R5 — 3,3 k $\Omega$ ;

R6 — 390  $\Omega$  (150...470  $\Omega$ );

— bobinele sînt realizate în aer din CuEm  $\varnothing$  0,5 mm pe un dorn de  $\varnothing$  3 mm, spirală lîngă spirală:

L1 — 6 spire;

L2 — 13 spire;

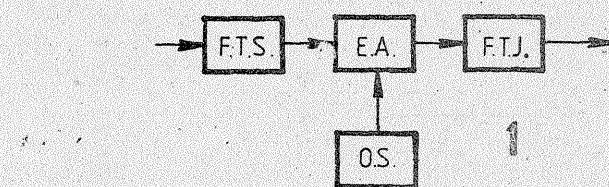
L4 — 6 spire;

L3 — șoc realizat cu cel puțin 20 de spire cu CuEm  $\varnothing$  0,2 mm pe un miez de ferită de înaltă frecvență cu  $\varnothing \geq 1$  mm.

Elemente active:

T1 — BF200 sau BF180;

T2 — BF214 sau BF254, BF255;

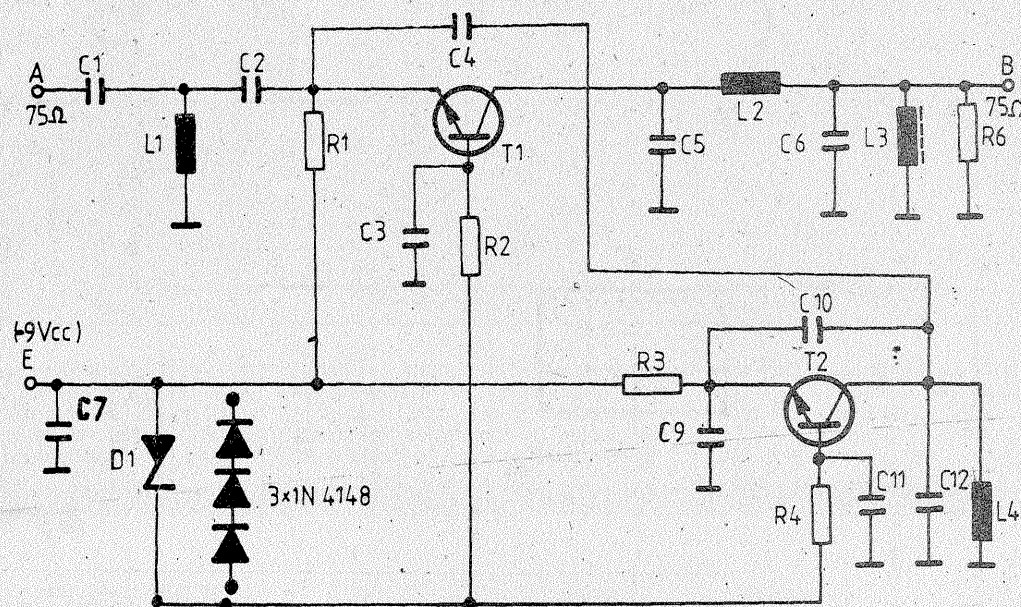
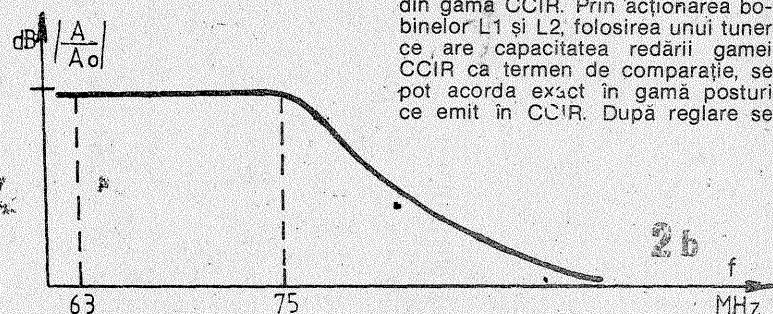


9 mA, tensiunea în bazele T1 și T2 fiind: -7  $\div$  7,3 V, iar tensiunea în emitoarele T1 și T2 de -6,3...-6,9 V.

**Reglarea montajului**

Reglarea propriu-zisă a montajului constă în acordarea oscilatorului local pe frecvența dorită (cca 167 MHz), fie cu metodele cunoscute de măsurare a frecvenței, fie direct în montaj definitiv.

În acest caz se caută ca prin îndepărtarea sau apropierea spirelor bobinei L4 să se recepționeze printre posturile din gama OIRT posturi din gama CCIR. Prin acționarea bobinelor L1 și L2, folosirea unui tuner ce are capacitatea redării gamei CCIR ca termen de comparație, se pot accorda exact în gamă posturi ce emit în CCIR. După reglare se



D1 — DRD3 sau trei diode cu siliciu inseriate în conducție directă, de tip BA243, BA244, BA170, BA171, BA172 sau chiar 1N4148 (însă cu rezultate mai modeste).

Se alimentează montajul cu o tensiune continuă, stabilizată și bine filtrată de -9 V, cu plusul la masă și minusul la borna E.

Consumul montajului este de cca

verifică dacă capacele cutiei de metal în care s-a realizat montajul influențează sau nu acordul realizat și se trece la rigidizarea lor.

**Observații.** Convertorul se poate monta fie în interiorul aparatului (care poate fi în fond orice tip de aparat ce are impedanța de intrare la mufa de antenă 75  $\Omega$ ), fie în afara lui, interconectarea făcîndu-se prin cablu ecranat de 75  $\Omega$ .

Convertorul se poate folosi practic în toate domeniile unde trebuie făcute conversii dintr-o gamă în alta. Pentru aceasta se dau în figura 4 formulele de calcul pentru cele două filtre de intrare și ieșire.

Oscilatorul fiind de tip Colpitts, se poate modifica foarte ușor și cu ajutorul modelului de mai sus acest convertor poate funcționa în regimul de trafic de radioamator.

## BIBLIOGRAFIE:

M. Bășoiu, C. Costache — „20 de scheme electrice pentru „amatori” — vol. II, 1979.  
M. Bășoiu — „Recepția TV la mare distanță”, 1989.  
Colecția revistei „Tehnum”.

### FILTRU DE TIP $\pi$

R<sub>o</sub> — impedanța de intrare

$$L = \frac{R_o}{\pi \cdot f_o}$$

L = henry;

C = farazi;

f<sub>o</sub> = hertzi;

R = ohmi.

### FILTRU DE TIP T

f<sub>o</sub> — impedanța de tăiere a filtrului

$$C = \frac{1}{4\pi f_o R_o}$$

C = farazi;

f<sub>o</sub> = hertzi;

R<sub>o</sub> = ohmi.

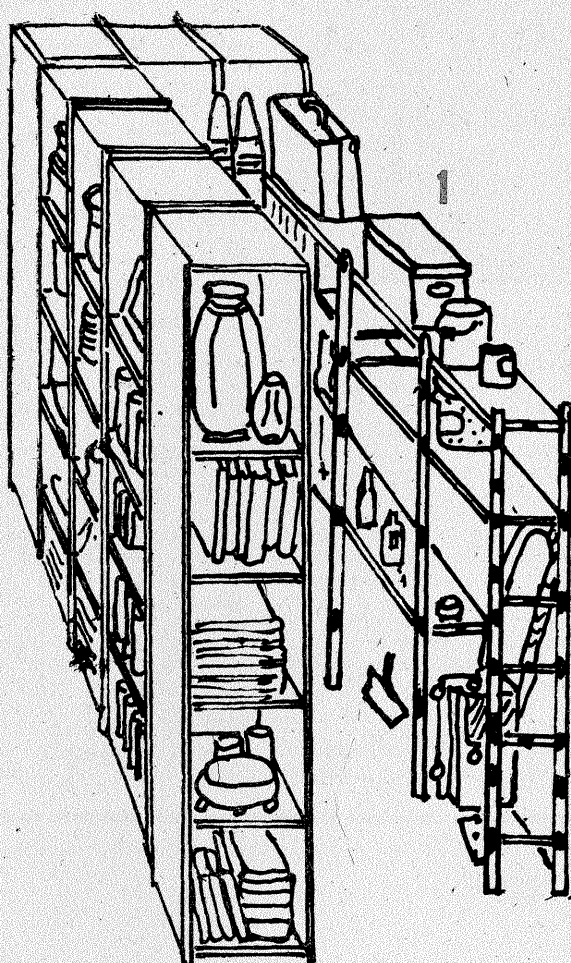


În paginile revistei am publicat, în repetate rânduri, sfaturi și idei de amenajare a spațiului locuibil (holuri, bucătăria, băi etc.), într-un apartament sau într-o garsonieră.

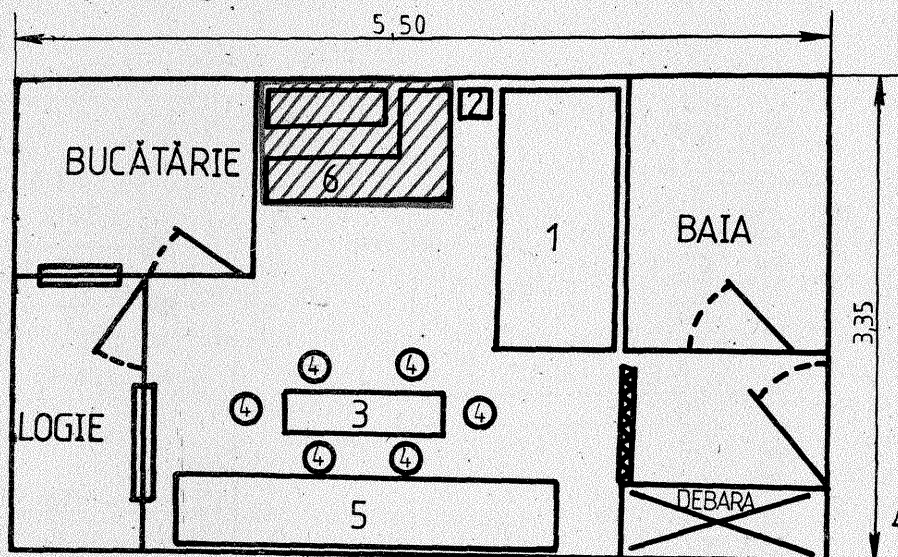
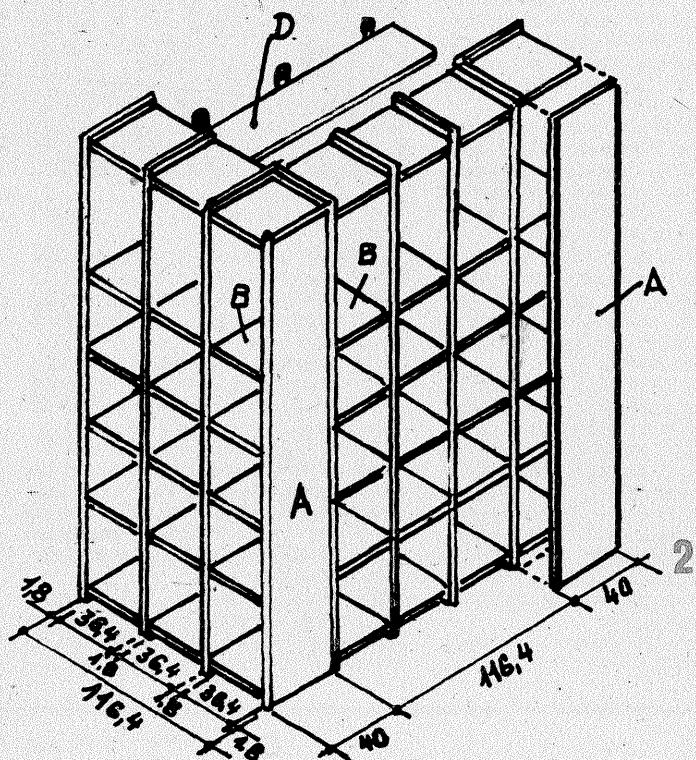
Cu toții știm că într-o garsonieră spațiul este limitat și, mai ales, acela pentru depozitarea unor obiecte necesare într-o gospodă-

# RAFTURI

## MULTIFUNCȚIONALE



K. FILIP



1-CANAPEA, 2-NOPTIERĂ, 3-MASA, 4-SCAUNE, 5-BIBLIOTECA, 6-RAFTUL PROPUȘ.

rie, dar nefolosite zi de zi (geamantan, aspirator, schiuri etc.).

În cele de mai jos vă propunem realizarea unor rafturi ce pot fi utilizate ca bibliotecă: pentru cărți, bibelouri, aparat de radio etc., rafturi „paravan”.

În vederea confecționării acestora alegem, mai întâi, materialele necesare — scinduri din lemn de esență moale —, iar dacă nu avem lemnul propus — PAL sau PFL —, fier cu profil U, I sau T, dibluri, holșuruburi, cuie, un adeziv, lac incolor sau vopsea.

Dimensiunile rafturilor, cotele, cât și modul de asamblare și montare a acestora sînt date în figurile 2 și 3.

Urmărind figura 1, se poate constata că rafturile sînt astfel asamblate încît între peretele apartamentului și corpul frontal al raftului

rezultă un spațiu liber. Acest spațiu mic poate fi deci amenajat, montînd rafturi destinate depozitării diferitelor obiecte.

Aceste rafturi „ascunse” pot fi realizate pe un schelet metalic din fier profil (U, I sau T, fig. 1), fie montate pe suporturi din lemn sau fier profil (fig. 2). Pentru aceste rafturi batem (împușcăm) cuie sau șuruburi, montăm dibluri și suporturile pentru scindurile ce constituie rafturile propriu-zise.

Prezentăm în continuare dimensiunile (în cm) ale părților componente, cît și numărul acestora:

- A — 1,2 ÷ 1,9 x 40 x 250 (9 buc.);
- B — 1,8 x 36,4 x 40 (42 buc.);
- C — 0,4 x 116,4 x 240 (2 buc.);
- D — 1,8 x 30 x 125 (6 buc.);
- E — 125 x 1,8 x 50 (3 buc.);
- F — 2 x 2 x 35 (70 buc. șipci)

Părțile componente, scindurile,

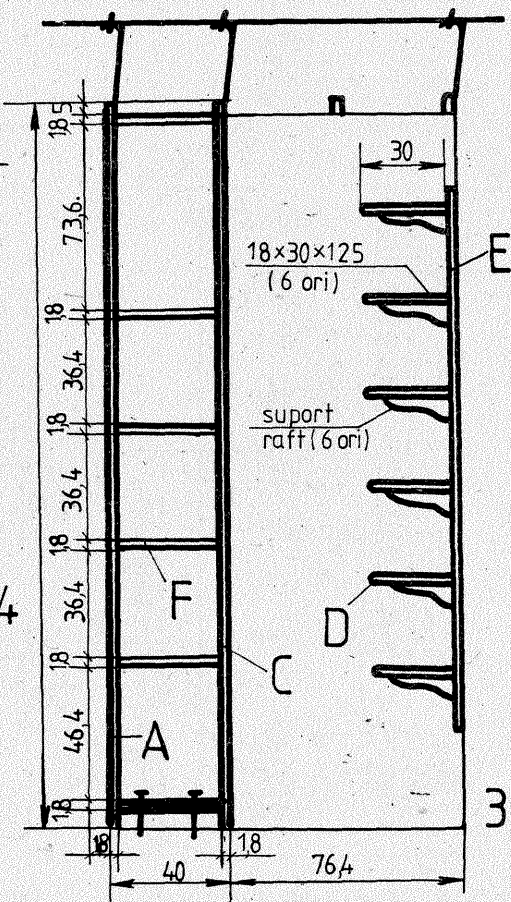
panourile laterale, cît și tăblia din spate se fixează între ele cu holșuruburi (cuie), iar pentru o consolidare mai bună și cu un adeziv (clei de oase, aracet). Scindurile (B) ce constituie rafturile se reazemă fie pe șipci (F), fixate pe panourile laterale (A) cu șuruburi (cuie), fie pe dibluri din plastic ce pot fi procurate din unitățile comerciale specializate. Pentru fixarea acestora se practică cu un burghiu găuri (corespunzător diametrului diblului) în

panourile laterale (A).

Corpurile rezultate se fixează fie de podea cu șuruburi, fie de tavan.

Întregul ansamblu poate fi grunduit și vopsit în culori asortate cu restul mobilei, fie se lăcuiește cu lac incolor. În cazul în care folosim lemn de esență moale (brad), acesta poate rămîne natur.

În figura 4 vă propunem un mod de amenajare a interiorului garsonierei inclusiv unde este sau poate fi amplasat acest raft „paravan”





## 1. PREZENTARE GENERALĂ

Se pot controla funcțiile esențiale ale unui receptor TV pe un singur canal de telecomandă? Răspunsul este afirmativ.

Provenind din tehnica de calcul, metoda constă în afișarea unui „menu” de parametri, urmată de alegerea parametrului și a mărimii acestuia de către utilizator. Este în prezent aplicată de unele firme constructoare de receptoare TV moderne (1).

Această metodă interactivă, de „dialog” între receptorul TV și utilizator, simplifică sensibil construcția emițătorului de telecomandă, cât și a receptorului și mărește siguranța transmisiei.

În plus, o telecomandă cu o singură tastă se manevrează mai ușor în (semi)obscuritate comparativ cu telecomenzile frecvent „încărcate” cu taste, utilizate rar sau niciodată, din motive comerciale.

Afișarea „menu”-ului pe tubul cinescop este complicată și costisitoare pentru constructorii amatori. De aceea s-a recurs la afișarea pe patru LED-uri, montate pe panoul frontal al receptorului TV. Fiecare LED simbolizează un parametru, după cum urmează:

- LED triunghiular cu vârful în jos — descreștere volum;
- LED triunghiular cu vârful în sus — creștere volum;
- LED rotund verde — schimbare program TV;

# MONOCOMANDĂ TV

Ing. VICTOR DAVID

d) LED rotund roșu — pornit/oprit.

Ordinea parametrilor, deci și ordinea de aprindere a LED-urilor, a fost stabilită prin analiză statistică, adică ținând seama de frecvența modificării unui parametru.

De exemplu, funcția pornit/oprit este cel mai rar utilizată; de aceea este trecută pe ultimul loc în lista de priorități.

În principiu, dispozitivul are o intrare pe care primește impulsuri de pe calea de telecomandă sau de la o eventuală comandă locală și patru ieșiri, pe care distribuie impulsuri spre comanda propriu-zisă a parametrilor volum sonor, programe TV, pornit/oprit. Două din aceste ieșiri sînt alocate creșterii și descreșterii volumului. Cea de-a treia ieșire atacă un numărator îninel care co-

mută programele TV prereglate, iar ultima comandă starea pornit/oprit a receptorului TV. Acest mod de reglaj al parametrilor unui receptor TV, cât și alocarea căilor de transmitere a impulsurilor au fost prezentate amănunțit în (2).

Telecomanda monocanal va fi cea aleasă de constructorul amator, pe o cale fizică oarecare (cablu, radio, ultrasunete, infraroșu etc.). Singura cerință este cea a furnizării de impulsuri curate, fără oscilații parazite.

Structural, monocomanda TV conține o logică de comandă:

- secțiunea de distribuire a impulsurilor — și comanda propriu-zisă;
  - secțiunea de execuție.
- Ambele secțiuni sînt realizate cu circuite CMOS, avînd un consum

neglijabil. Acest fapt face posibilă alimentarea permanentă a dispozitivului chiar cînd receptorul TV este oprit. De aici rezultă o „memorie” a schemei, adică la repornirea receptorului TV vom beneficia de ultimul program TV și la nivelul sonor ales înainte de oprire.

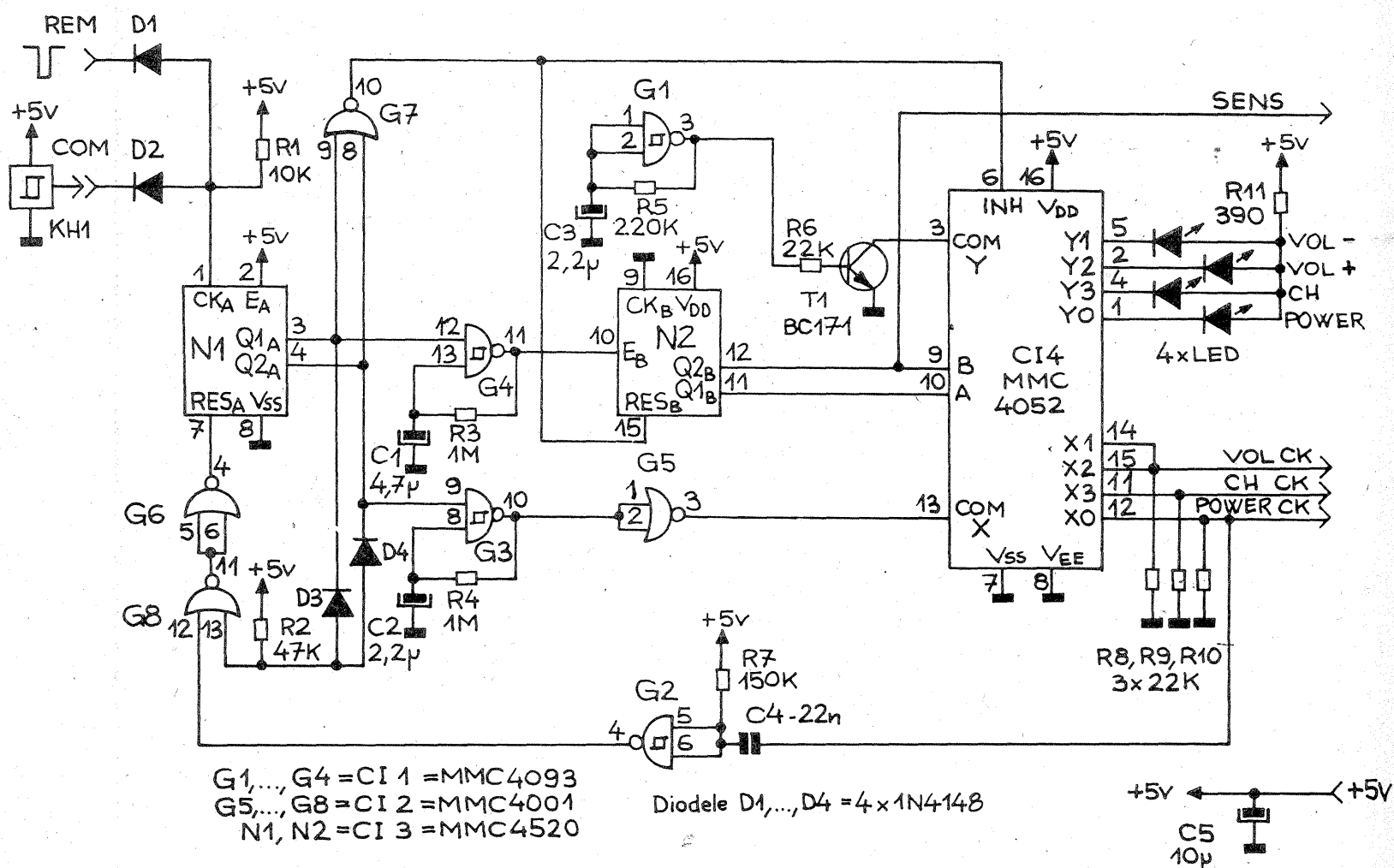
## 2. MODUL DE UTILIZARE

În situația în care utilizatorul dorește să modifice un parametru oarecare, inițiază un ciclu de reglaj apăsînd o singură dată tasta telecomenzii. Cele patru LED-uri se vor aprinde intermitent în ordinea anterior menționată. Cît timp pulsează LED-ul corespunzător parametrului dorit, utilizatorul poate comanda, tot printr-o apăsare a aceleiași taste, începutul reglajului propriu-zis. În acest moment se declanșează modificarea parametrului, suficient de lent pentru a putea fi urmărită. Cînd parametrul a atins valoarea convenabilă, se apasă încă o dată tasta telecomenzii, încheind astfel ciclul de reglaj.

Derularea unui ciclu de reglaj pentru creșterea volumului sonor, de exemplu, este următoarea: se apasă tasta; se aprinde LED-ul triunghiular cu vârful în jos; se aprinde LED-ul triunghiular cu vârful în sus; se apasă tasta; volumul sonor crește; la nivelul sonor dorit, se apasă tasta; se stinge LED-ul, volumul rămînînd la nivelul ales.

Dacă pentru primii trei parametri putem face un reglaj prin trei

Fig.1 Schema electrică a monocomenzii TV - logica de comandă



apăsări ale tastei, pentru pornit/oprit sînt suficiente două apăsări: se apasă tasta; se aprinde, pe rînd, LED-urile triunghiulare, LED-ul rotund verde și, în fine, cel rotund roșu; se apasă tasta; receptorul TV se oprește dacă era pornit sau pornește dacă era oprit; LED-ul roșu se stinge.

### 3. FUNCȚIONAREA SCHEMEI

Schema electrică a logicii de comandă este prezentată în figura 1. Impulsurile de acționare provin de la telecomandă prin dioda D1 sau, opțional, de la comanda locală prin dioda D2. Comanda locală se poate da de la o tastă Hall, KH1, sau de la un microîntrerupător, curățînd impulsul cu un bistabil RS.

Impulsurile atacă numărătorul cu trei stări N1, care controlează tot restul schemei, după cum se prezintă în continuare.  $Q2_A Q1_A = 00$  caracterizează starea de așteptare. Deoarece demultiplexorul analogic C14, de tip MMC4052, este inhibat prin intermediul porții G7, LED-urile sînt stinse, iar pe ieșirile VOL CK, CH CK și POWER CK avem nivel LOW. Numărătorul N2 este forțat în starea  $Q2_B Q1_B = 00$  prin reacția aplicată pe intrarea RESET B de la ieșirea porții G7.

După primul impuls de comandă,  $Q2_A Q1_A = 01$ . Oscilatorul comandat realizat cu poarta G4 începe să lucreze, incrementînd conținutul numărătorului N2. Întrucît și demultiplexorul C14 este dezinhbat, LED-urile se vor aprinde în ordinea dictată de N2 cu intermitența datorată oscilatorului cu G1.

După al doilea impuls de comandă  $Q2_A Q1_A = 10$ , se blochează oscilatorul cu G4, N2 rămînînd în starea aleasă de utilizator, semnalizată în continuare de LED-ul corespunzător.

În același timp, lucrează oscilatorul comandat realizat cu poarta G3, trimițîndu-se impulsuri pe una din căile VOL CK, CH CK sau POWER CK, funcție de starea numărătorului N2 care adresează demultiplexorul analogic.

După al treilea impuls, numărătorul N1 ajunge în starea 11 din care trece rapid în 00 datorită reacției RESET A =  $Q2_A \cdot Q1_A$  prin diodele D3, D4 și prin porțile G8, G6, adică dispozitivul revine în starea de repaus.

Se remarcă faptul că, în cazul apariției unui impuls pe ieșirea POWER CK, schema basculează direct în starea de repaus datorită reacției prin monostabilul cu G2, apoi prin G8, G6. Această reacție previne nedoritele comutări repetate pornit/oprit, în cazul în care utilizatorul nu se grăbește să genereze al treilea impuls de comandă, acum inutil.

Din numărătorul N2 se generează bitul SENS =  $Q2_B$  care se schimbă la trecerea din situația scăderii volumului la creșterea acestuia. În schimb, în ambele cazuri de modificare a parametrului volum, impulsurile de ieșire iau calea VOL CK. Această modalitate de ieșire facilitează folosirea unui numărător de tip MMC4516 în secțiunea de execuție din figura 2. Acest numărător are opt stări și este prevăzută cu reacții de prevenire a depășirii limitelor de numărare.

În cazul numărării înainte, din starea 7 (0111) se trece în 8 (1000), dar datorită reacției PRESET ENABLE =  $Q4$  prin dioda D7, se înscrie în numărător cuvîntul J4J3J2J1 = 0111, adică numărătorul ajunge tot în starea 7.

La numărarea înapoi, din starea 0

(000) se trece în starea 15 (1111), dar reacția RESET =  $Q3 \cdot Q4$  readuce numărătorul în 0 prin intermediul diodelor D5, D6. Reacția PE =  $Q4$  este blocată prin dioda D8 (PE în LOW, indiferent de Q4).

Numărătorul C15 adresează un multiplexor analogic C16 de tip MMC4051 care, printr-o rețea de rezistențe, controlează volumul în opt trepte. Acest mod de reglaj al volumului a fost prezentat în detaliu în (2).

Bitul POWER CK atacă un bistabil de tip T, realizat cu jumătate din circuitul MMC4013. Cealaltă jumătate a acestui circuit poate fi folosită la curățarea impulsului de comandă locală, în absența unei taste Hall. Prin contactele sale X1X2, reful electromagnetice Re1 controlează alimentarea din rețea a receptorului TV.

Bitul CH CK (Channel Clock — ceas programe) este destinat acționării unui numărător în inel care să comute programele TV. Acest numărător poate fi MMC4017 sau MMC4022 într-o schemă adaptată de amatorii inventivi după varianta TTL de schimbare a programelor TV (2) sau poate fi folosit dispozitivul DTS prezentat în (3). În această ultimă eventualitate s-au figurat în schemă și elementele de dirijare semnalului CH CK pe calea UPREM. De la dispozitivul DTS pot proveni și tensiunile de +5 V, +12 V, -15 V, necesare funcționării monocomenzii TV.

Amatorii pretențioși pot utiliza ieșirea MUTING a dispozitivului DTS pentru a bloca multiplexorul analogic din reglajul de volum pe intrarea INHIBIT (pin 6), cît timp DTS se află în „căutare”.

### 4. INDICAȚII CONSTRUCTIVE

Montajul poate fi realizat pe cablaj imprimat, prin wrapare etc. Componentele din jurul circuitului integrat C16, pe traseul audio, vor avea terminale cît mai scurte. Se reaminteste necesitatea utilizării cablului ecranat pentru intrarea și, respectiv, pentru ieșirea audio și amplasarea montajului la distanță față de blocul de alimentare; de FIT, în televizor.

Modul de includere a unui asemenea montaj într-un receptor TV și diversele interconectări au fost prezentate în (2), (3).

La probe nu se va alimenta parțial montajul și nu se va deschide receptorul TV cu montajul nealimentat!

În cazul în care nu se utilizează jumătate din C17 (MMC4013), se vor lega la masă intrările respective.

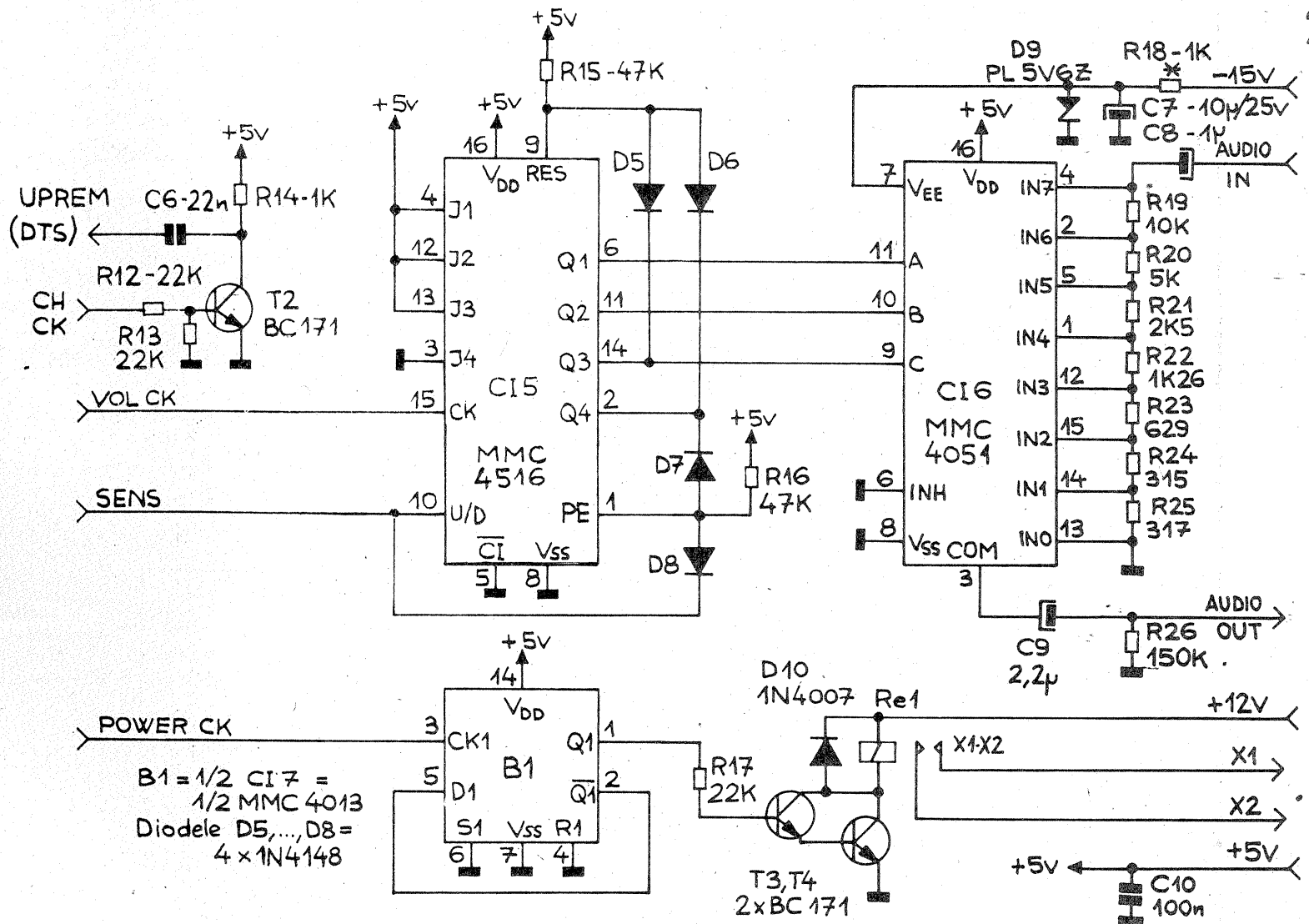
Condensatoarele electrolitice din schemă sînt cu tantal, de tip picătură, avînd curenți de fugă minimi — este indicată selectarea.

Acest montaj nu este recomandat constructorilor amatori începători.

### 5. BIBLIOGRAFIE

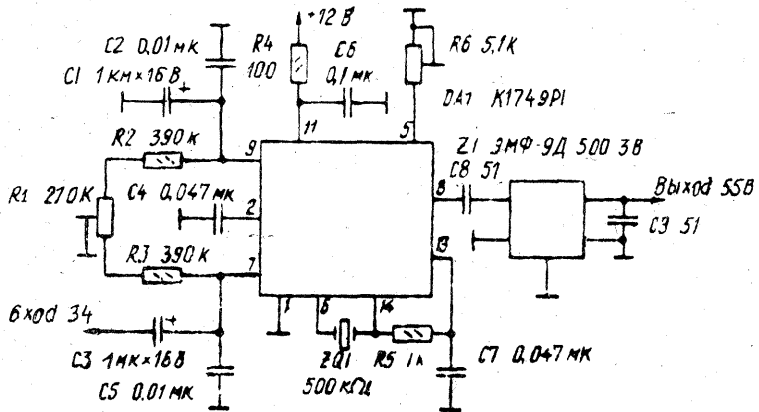
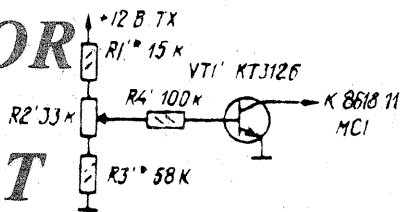
- (1) John Gosch — „A way to ease remote — control panic”, Electronics, april, 1989;
- (2) V. David — „Telecomandă TV”, Tehnium nr. 9/1988;
- (3) V. David — „Acord digital TV”, Tehnium nr. 7 și 8/1991.

Fig.2. Schema electrică a monocomenzii TV - secțiunea de execuție





# MODULATOR ECHILIBRAT



Pentru realizarea unor transmisiuni SSB de bună calitate, UV30G recomandă folosirea circuitului integrat K174YP1 în configurația electrică prezentată alături, unde purtătoarea este atenuată mai mult de 50 dB. La ieșirea circuitului este montat un filtru tip EMF500, eliminându-se banda laterală nedorită.

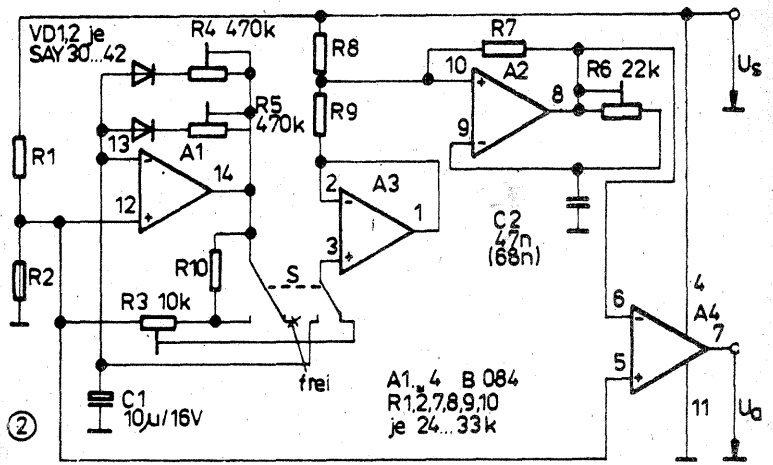
RADIO, 9/1988

# SIRENĂ

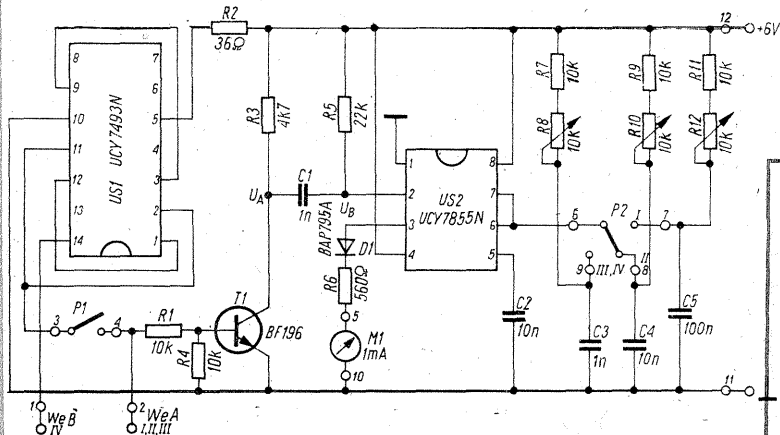
O aplicație a circuitului integrat BO84 o constituie și realizarea unei sirene electronice fiindcă acest circuit conține patru amplificatoare operaționale. Aici, trei amplificatoare operaționale lucrează în impulsuri; astfel, A1 este un generator de undă dreptunghiulară, iar A2 este un generator de ton ce lucrează ca un generator controlat în tensiune. Amplificatorul A4 este un comparator și furnizează semnalul specific sirenei.

\*Alimentarea se face cu tensiune cuprinsă între 9 V și 15 V.

JUGEND UND TECHNIK, 12/1986

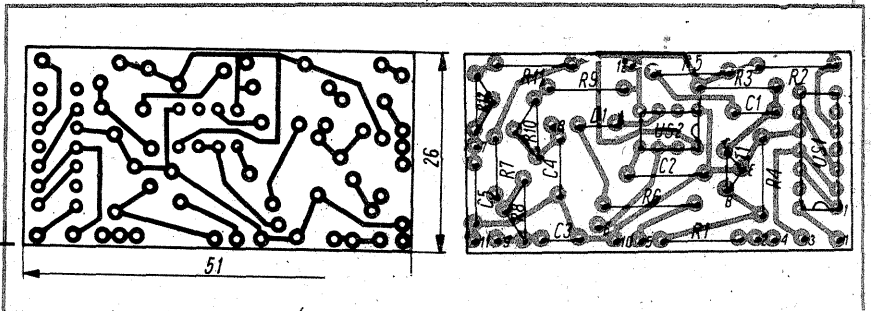


# FRECVENȚMETRU



Instrumentul este cu indicație analogică și poate măsura semnale cu frecvența cuprinsă între 20 Hz și 100 kHz. Instrumentul indicator este gradat 1—10 fiindcă intervalele de măsurătoare sînt: I = 1 Hz — 100 Hz; II = 100 Hz — 1 kHz; III = 1 kHz — 10 kHz; IV = 10 kHz — 100 kHz. După cum se observă, pe gama IV semnalul este introdus în circuitul 493, care îl divizează prin 10 și îl citim, de fapt, în intervalul 1—10 kHz. Circuitul US1 este echivalent cu CDB493, iar US2 cu BE555. Alimentarea se face cu 6 V.

RADIOELEKTRONIK, 3/1991



# CLK5011

Circuitul integrat CLK5011, produs ITT, este realizat în tehnologie CMOS și destinat a alimenta ceasurile analogice cu avans la secundă sau minut.

Baza de timp a sistemului este controlată de un cristal de cuarț cu frecvența de 4,194812 MHz și care prin divizări adecvate generează impulsuri cu frecvența de 0,5 Hz pentru avansul secundă cu secundă sau impulsuri cu frecvența de 1/120 Hz cînd avansul se face din minut în minut.

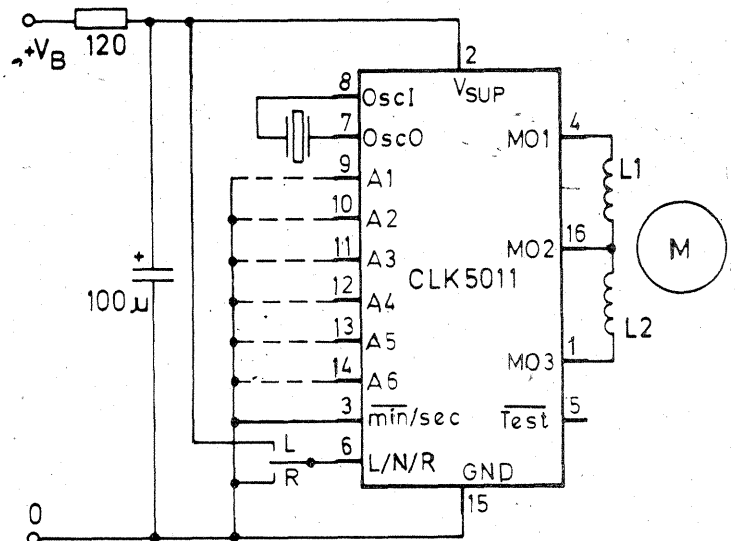
Înfășurarea principală a motoru-

lui ceasului se conectează între terminalele 4 și 16, respectiv MO1 și MO2, iar înfășurarea auxiliară se conectează între MO2 și MO3.

Prin diverse moduri de control al ieșirilor A (terminalele cuprinse între 9—14 inclusiv) se pot obține 64 de trepte de divizare a frecvenței.

Alimentarea cu energie electrică se face de la 12 V printr-un rezistor de 120 Ω, circuitul CLK5011 fiind protejat interior cu o diodă Zener.

ITT SEMICONDUCTORS, 1987



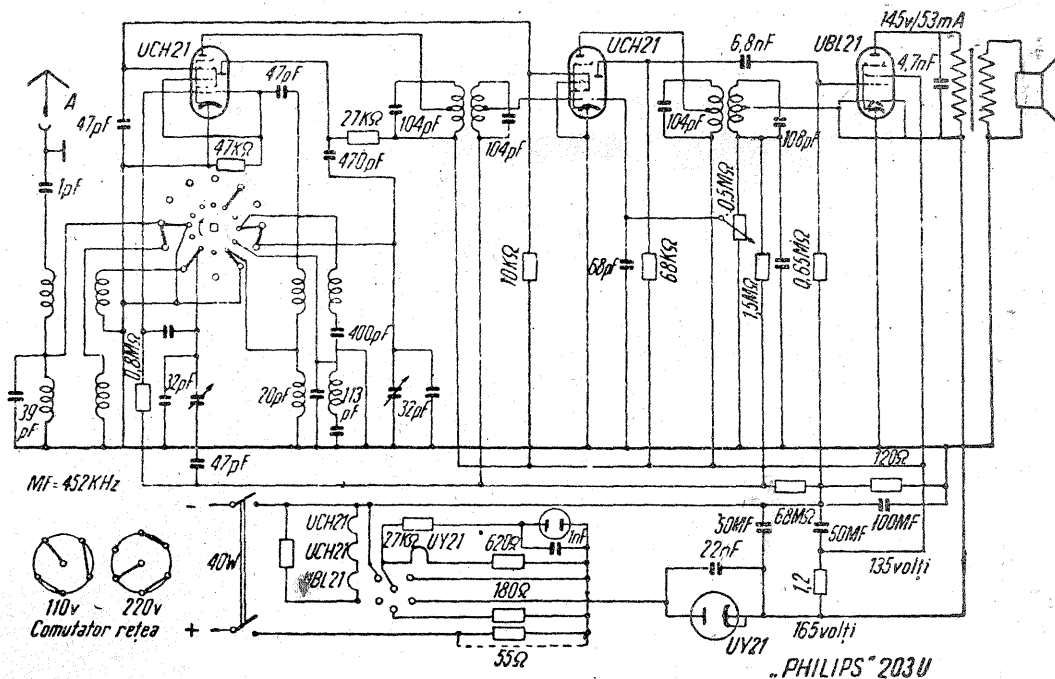
DI. NICOLAU DRAGOȘ — Adjud

# PHILIPS-203U

Radioreceptorul Philips 203U într-adevăr a făcut parte din aparatele de mici dimensiuni, dar având calități electrice bune, poate fi alimentat din rețeaua de curent electric alternativ sau continuu.

Partea deosebită în schema electrică o constituie alimentarea cu energie electrică. Aici trebuie să rezolvați situația, care, după părerea noastră, nu este complicată. În primul rând, trebuie să aveți în vedere că alimentarea se face de la 220 V, iar curentul de filament al tuburilor este de 0,1 A. Deci, după ce s-au desfăcut toate rezistoarele adiționale, se conectează în serie cu filamentele celor trei tuburi un rezistor cu valoarea de 1 250 Ω/15 W (bineînțeles, eliminând tubul UY21).

În locul tubului UY21 se conectează o diodă 1N4007 în serie cu un rezistor de 180 Ω. Oricum, ne vom asigura ca la primul condensator electrolitic tensiunea să nu fie mai mare de 170 V.



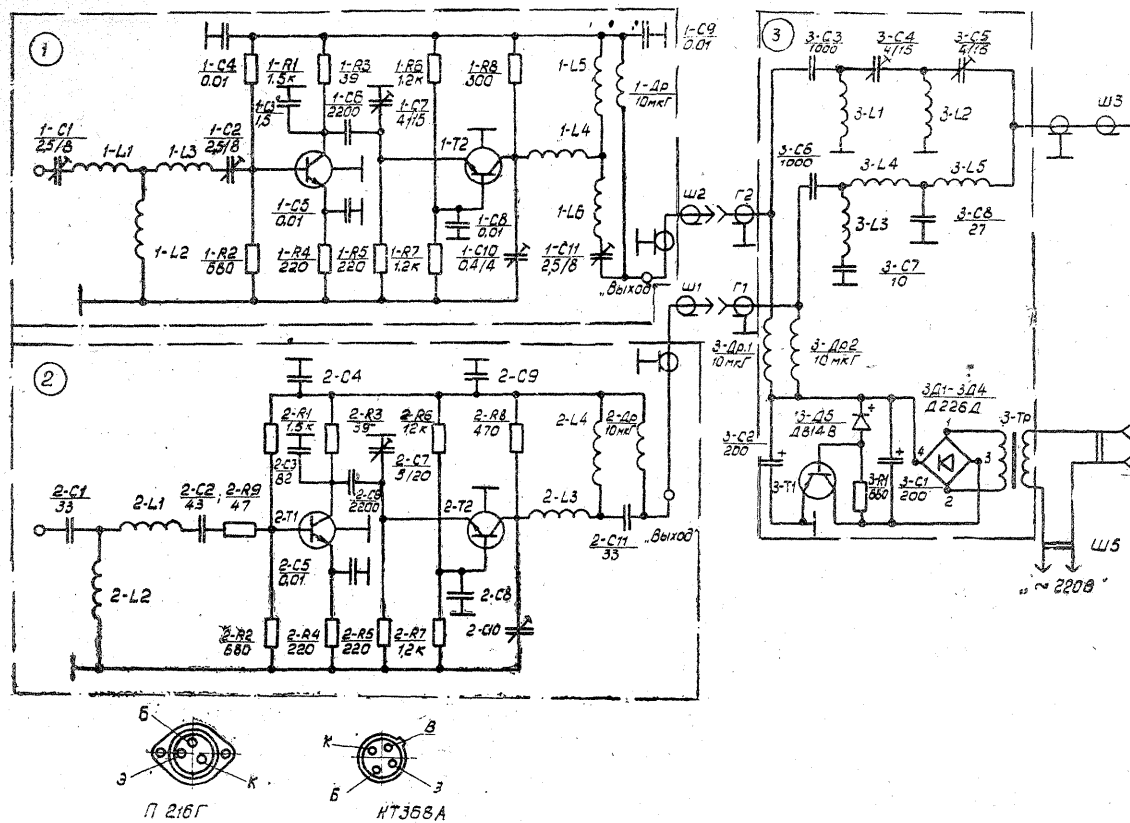
DI. MICU ADRIAN — Suceava

# AMPLIFICATOR TV

Amplificatorul UTDI, construcție U.R.S.S., lucrează în benzile I-III de televiziune, respectiv în canalele 1-12 TV, asigurând o amplificare superioară lui 12 dB, după cum indică prospectul.

Toate tranzistoarele amplificatoare sînt KT368A, iar tranzistorul stabilizator de tensiune este P216.

Alimentarea etajelor amplificatoare se face prin cablurile coaxiale de legătură.





# MICROELECTRONICA

Str. Eroii Iancu Nicolae nr. 34 B București 72996 sector 2

## în atenția

SOCIETATEA COMERCIALĂ  
MICROELECTRONICA S.A.

### LISTA DISTRIBUITORILOR ZONALI AI SOCIETĂȚII MICROELECTRONICA S.A.

Arad	F.P. ELECTRONIC SRL	tel. 966/62697
Baia Mare	IJPP	tel. 994/15193
Brașov	MUS	tel. 921/14618
București	MID-CO SRL	tel. 59.53.56
	INFOCOMP	tel. 13.26.97
	QUINTUS SRL	tel. 50.67.68
	IIRUC SA	
Cluj Napoca	SERVICE TOTAL ELECTRONIC	tel. 916/72161
Constanța	POP SERVICE ELECTRONIC	tel. 941/41726
Craiova	ELECTRON GRUP	tel. 934/11699
Galați	HELP	tel. 976/80549
Pitești	PRODEXIN	tel. 971/25288
Ploiești	PHOTOVIDEX	tel. 923/14482
Sf. Gheorghe	LIV SRL	tel. 924/31772
Sibiu	AL ISA	tel. 987/16447
Suceava	PROCONTROL SRL	tel. 954/13178
Tg. Mureș	EDITURA TM	tel. 961/77422
Timișoara		

Venind în sprijinul dv., MICROELECTRONICA S.A. operează reduceri importante de prețuri la principalele componente și echipamente electronice utilizate în aplicațiile dv.

Spre exemplu, cu numai 199,50 lei vă puteți achiziționa o memorie dinamică MMN4164, cu 269 lei o memorie PROM MMN2616 și cu 299,50 lei un microprocesor MMN80 CPU.

Aceleși reduceri semnificative de preț au fost operate la:

- familia microprocesorului Z80;
- familia microprocesorului 8080;
- memorii statice și dinamice;
- echipamente din seria MADS;
- echipamente din seria MIND.

Nu pierdeți ocazia unor achiziții rentabile.

Pentru livrări contactați compartimentul desfacere din cadrul întreprinderii sau distribuitorii autorizați ai societății MICROELECTRONICA S.A.

ajutor